

# วารสาร เทคนิคการแพทย์ เชียงใหม่



BULLETIN OF  
CHIANG MAI  
ASSOCIATED MEDICAL SCIENCES

ปีที่ 24 ฉบับที่ 2 เดือนพฤษภาคม 2534

VOLUME 24 NO 2 MAY 1991 ISSN 0125-5347

# วารสารเทคนิคการแพทย์เชียงใหม่

วัตถุประสงค์	เพื่อเผยแพร่องค์ความรู้ทางวิชาการสาขาวิชาเทคนิคการแพทย์ รังสีเทคนิค กิจกรรมบำบัด กายภาพบำบัด และสาขาอื่นๆ ที่เกี่ยวข้องกับทางด้านวิทยาศาสตร์สุขภาพ	
เจ้าของ	คณะเทคนิคการแพทย์ มหาวิทยาลัยเชียงใหม่	
ที่ปรึกษากิตติมศักดิ์	นายแพทย์ชัยโรจน์ แสงอุดม	
ที่ปรึกษา	เนตร สุวรรณคุณหาสน์ ชนิพ มกรแก้วเกยูร สนอง ไชยารักษ์	
บรรณาธิการ	ปกรณ์ ไทยานันท์	
รองบรรณาธิการ	เกรียงศักดิ์ ประพุทธพิทaya	
กองบรรณาธิการ	วารุณี คุณนาชีวงศ์ รุจ觚ภา นิมสังข์ วสันต์ จันทรารัตน์ ระวีวรรณ ใจดิจิญรัตน์ พรพิพย์ วัฒนาวิทวัส	สิชล สงคศิริ นันทยา ชนะรัตน์ ศุภาร สุตตะพาหะ <sup>*</sup> เดชา ร่วมไทรย์ ปฐมรัตน์ ศักดิ์ศรี
คำรับรอง	คำรับรอง	
ผู้จัดการ	จริยา กาทอง	
ฝ่ายจัดการ	ธรัช พยัคฆา อุทัย คงแวงวน สนั่น นันตีะเสน สยาม คุณเศษ	มนัส ศรีสัตบุตร รุ่งระวิ ตาสา <sup>*</sup> วันทนนา แสงไพรожน์
ฝ่ายทะเบียน	รัตนา สาร	
ผู้ช่วยฝ่ายทะเบียน	นักธยา ชูโต	
เหตุสัญญา	สุภาพร นิลเกษ	
ศิลปกรรม	บรรลือ สโนสร	กำพล ศรีแสง
กำหนดออก	ราย 4 เดือน (มกราคม, พฤษภาคม, กันยายน)	
พิมพ์ที่	โรงพิมพ์โรงพยาบาลสวนป่ารุ่ง เชียงใหม่	



# BULLETIN OF CHIANG MAI ASSOCIATED MEDICAL SCIENCES

---

**OFFICIAL PUBLISHER :** Faculty of Associated Medical Sciences, Chiang Mai University, Chiang Mai, Thailand

**OBJECTIVE :** Bull Chiang Mai AMS (ISSN 0125-5347) publishes original research reports, reviews, editorials, notes letters to editor and abstracts. Manuscripts relevant to any and all aspects of medical technology, radiologic technology, occupational therapy and physical therapy are welcome.

**HONORED CONSULTANT :** Chairoj Saeng-Udom, M.D.

**CONSULTANTS :** Netr Suwankrughasn  
Sanit Makornkawkeyoon  
Sanong Chaiyarasamee

**EDITOR IN CHIEF :** Pakorn Thaiyanan

**ASSOCIATE EDITOR :** Kriangsak Praputpittaya

**BOARD OF EDITORS :** Warunee Kunachiwa                             Sichon Songsiri  
Rujapa Nimsung     Nantaya Chanarat  
Wasun Chanratitaya     Suporn Sutabaha  
Raweewan Choatcharoenrat                                     Decha Romcai  
Porntip Watanawittawas                                         Pathomrat Saksri

**BUSINESS MANAGER :** Jariya Karthong

**MANAGER STAFFS :** Tawat Payakkha                             Manus Srisuttaboot  
Sanun Nuntasen     Rungrawee Tasa  
Uthai Koungwaen     Wantana Sangpairojana  
Siam Kunses

**REGISTRA :** Ratana Sakorn

**ASSISTANT REGISTRA :** Nattaya Chooto

**TREASURER :** Supaporn Nilakesh

**ILLUSTRATOR :** Bhanleur Samosorn                             Kampon Srisawaeng

**PUBLISHED :** Tertially (January, May, September)

**SUBSCRIPTION :** Subscriptions are to be prepaid; and rates per year : \$US 15 for all outsiders.

**EDITORIAL OFFICE :** All correspondence should be addressed to the editor

Pakorn Thaiyanan  
Faculty of Associated Medical Sciences,  
Chiang Mai University, Thailand 50002



**วารสารเทคนิคการแพทย์เชียงใหม่**  
**ปีที่ 24 ฉบับที่ 2 เดือนพฤษภาคม 2534**

---

**สารบัญ**

	หน้า
<b>บทบรรณาธิการ : บรรณาธิการและ</b>	<b>65</b>
<b>ประณ ไวยนันท์</b>	
<b>นิพนธ์ต้นฉบับ</b>	
<b>การวิเคราะห์บิลิรูบินรวมในพลาสม่าทางแยกโดยวิธีการทางเคมี</b>	<b>67</b>
<b>สุรพล ตั้งวงศิริชัย, สาวลักษณ์ อินทร์งาม, อรทัย ตั้งวงศิริชัย,</b>	
<b>กมล โคติวงศ์</b>	
<b>การตรวจน้ำยาสำเร็จรูปสำหรับตรวจหาแอนติบอดีนิวคลีีย์-แอนติบอดี</b>	<b>73</b>
<b>ประณ ไวยนันท์, ยุพิน สุศิริวรรณนนท์</b>	
<b>ระดับ glycosylated hemoglobin และน้ำตาลในเลือดผู้ป่วยเบาหวาน</b>	
<b>ในจังหวัดเชียงใหม่</b>	<b>81</b>
<b>สังกัด ชุติพงษ์วิเวท, ไฟรินทร์ ชาปัญญา</b>	
<b>เปรียบเทียบการตรวจอุจจาระ 4 วิธี และการใช้อกุลอาชีวเดท</b>	
<b>แทนไดอิล็อกอิเทอร์ในวิธีเข้มข้น</b>	<b>87</b>
<b>สุมรา จีโนรส, ศักดา เมืองคำ, เกตุรัตน์ สุขวัฒน์</b>	
<b>บทความวิชาการ</b>	
<b>Cluster of differentiation (CD) antigen</b>	<b>91</b>
<b>สิชล สงค์ศิริ</b>	
<b>ย่อเอกสาร</b>	<b>101</b>



# BULLETIN OF CHIANG MAI ASSOCIATED MEDICAL SCIENCES

Volume 24 Number 2 May 1991

---

## CONTENTS

	PAGE
<b>Editorial : Editorial talk</b>	<b>65</b>
Pakorn Thaiyanan	
<b>Research Articles</b>	
An evaluation of the determination of total bilirubin in newborns by chemical colorimetric method	67
Tangvarasittichai S, In-ngam L, Tangvarasittichai O, Kotivongsa K and Vongsaming C.	
Preparation of DNA-latex kit for detection of antinuclear antibodies	73
Thaiyanan P and Susiriwattananon Y.	
Glycosylated hemoglobin and fasting blood sugar level in diabetic mellitus of Chiang Mai province	81
Chutipongvivate S and Japunya P.	
Comparison of four technics for stool examination and a use of ethyl acetate for diethyl ether substitution.	87
Chinorose S, Muengkum S and Sukharat K.	
<b>Review Articles</b>	
Cluster of differentiation (CD) antigen	91
Sichon Songsiri	
<b>Abstract</b>	<b>101</b>



## บทบรรณาธิการ : บรรณาธิการແຄລງ

วารสารฉบับທี่ทำนกຳສັງອ່ານອຸ່ນປິນฉบับທີມ  
ກາງປະເລີຍແປລັງໄປຈາກເຄີມບ້າງ ເນື່ອຈາກມີການ  
ປະເລີຍແປລັງຄະຫຼັດທໍາໃໝ່ ໂດຍແພະຍ່າງຍິ່ງ  
ບຽນພາບການສະຮອງ ສ່ວນກອງບຽນພາບການ ຜູ້ຈັດ  
ການ ແລະອື່ນ ຖ້າ ສ່ວນໃຫຍ່ຍັງຄົງດີມ ອ່າງໄກ້ຕາມ  
ຮູບແບບ ພົມໂຄງສ້າງຫຼັກ ຢັງຄົງດີມ ເພື່ອຮັກຊາ  
ເອກລັກຂົມ້ນຂອງວາරສາງໄວ້ ໙ີຍບາຍຫລັກຂອງ  
ບຽນພາບການໃໝ່ ຊື້ອ ທ່າວາරສາງໄວ້ໄດ້ມາຕຽບ  
ແລະອອກຕຽງກຳທັນດວລາ ປັບປຸງຫາສຳຄັງທີ່ທໍາໄດ້  
ວາරສາງອອກຂ້າຄົມ

1. ຈົນປະມານໄມ່ເພີຍພອ ເທົ່າທີ່ຜ່ານມາຕ້ອງ  
ນໍາເຈັນນປະມານຂອງປີ 2534 ໄປໃຊ້ທ່າວາරສາງ  
ฉบັບປີ 2533 ແລະຂຶ້ນຫັ້ນກັນຕ່ອ ໄປໃນການ  
ພິມພັດລະດົບ ຄະດີຕ້ອງໃຊ້ເຈັນຮາຍໄດ້ ສ່ວນທີ່ມາ  
ເສີມເຈັນນປະມານຈົນຈະພອຈັດທໍາ

2. ດັ່ງແນ້ນ ວາරສາງອອກຍ່າງໆຈົບເຈັດເຮືອງທີ່ຈະ  
ລົງພິມເອົາມາກ ໃນສ່ວນເນື້ອຄົງຕ້ອງຂອງຄວາມ ກຽມງາ  
ຈາກສາມາຊີກຫຼືຜູ້ສູນໃຈໄດ້ຊ່ວຍກັນສັງນທຄວາມໄມ່ວ່າ  
ຈະເປັນພິມຈານວິຊຍ ບທຄວາມວິຊາການ ພົມໂຄງ  
ຮູບແບບ ທີ່ຄົດວ່ານໍ່ຈະເປັນປະໄຍົນຕ່ອສາມາຊີກທີ່ຫລາຍ  
ບທຄວາມທີ່ຈະສັງນາຄວາມປິນເຮືອງຕັ້ງນີ້

ບຫບຣຣນາທີກາຣ: ບຽນພາບການອາຈາປິນຜູ້  
ເຂົ້າແຂງໃນເຮືອງທີ່ໄປທີ່ເກີຍວ່າອ່ານກັບວາරສາງ ພົມໂຄງ  
ອາຈາໃຫ້ຜູ້ອື່ນເຂົ້າແຂງເປັນທຄວາມທີ່ນໍາສູນໃຈ ເຊັ່ນ  
ອາຈາຍີ່ໄປຄູງານຕ່າງປະເທດມາ ໄດ້ພັນເຫັນ  
ສັງແປລັກໃໝ່ທີ່ນໍ່ຈະເປັນປະໄຍົນຕ່ອສາມາຊີກ  
ໄມ່ຈຳເປັນຕ້ອງປິນເຮືອງທາງວິຊາການກີ່ໄດ້

ບທຄວາມວິຊາການ : ອາຈາປິນເຮືອງທາງວິຊາການ  
ທີ່ໄປອ່ານມາຈາກວາරສາງອື່ນແລ້ວຮັບຮຸມຫຼືເຮັບ

ເຮັດວຽກໃໝ່ ເພື່ອໃຫ້ອ່ານຍ່າຍ ເຂົ້າໃຈຈ່າຍອາຈະ  
ແສດງຄວາມຄົດເຫັນສ່ວນຕົວເພີ່ມເຕີມຕົວຢົກໄດ້ ພົມໂຄງ  
ເຮືອງໃໝ່ ຖ້າເພື່ອໄດ້ຮັບມາຈາກການຝຶກອບຮມ ພົມໂຄງ  
ຈາກຈາກຕ່າງປະເທດກົດໄດ້

ນິພົຮ່ວດນັບ : ເປັນເຮືອງຂອງການວິຊຍລົວໆ  
ທີ່ຕ້ອງເປັນເຮືອງໃໝ່ ແລະຍິ່ງໄມ່ເຄີຍພິມພັດວາරສາງ ອື່ນ  
ມາກ່ອນ ຜູ້ທີ່ຕ້ອງການພິມວຸດີ ພົມໂຄງຕໍ່ແກ່ທັງການວິຊາການ  
ການວິຊຍຄົດວ່າປິນເຮືອງຈຳເປັນ ນອກອກໄວ້ຕຽງ  
ນີ້ວ່າ ຜູ້ທີ່ເຄີຍສັງຄົມວິຊຍ ພົມໂຄງກວ່າມວິຊາການ  
ມາລົງພິມພັດວາරສາງເລີ່ມນີ້ ໄດ້ຕໍ່ແກ່ທັງການວິຊາການ  
ເປັນ ຜສ, ຮສ ແລະ ຕ ລ່າຍຄົມແລ້ວ

ບັນທຶກ : ທ່ານທີ່ມີຜົນງານວິຊຍໃໝ່ ພົມໂຄງ  
ຕົດສິນປະເທດສູງໃໝ່ ຖ້າ ຂຶ້ນມາ ຄ້າກລ້ວວ່າຜູ້ອື່ນຈະ  
ຊີ້ງລົງພິມພັດກ່ອນຮາ ກີ່ໄທສັນເປັນບັນທຶກ ພົມໂຄງຮະ  
ເມີຍຄົນອງເຮືອງນັ້ນ ພົມໂຄງຮະເມີຍຄົນອງເຮືອງນັ້ນ ພົມໂຄງ  
ແລ້ວຄ່ອຍສັງຄົມວິຊຍມາພິມພັດທີ່ຫລັງ

ຈົດໝາຍເຖິງບຽນພາບການ : ຄ້າທ່ານໄປພົບ  
ເຫັນສິນໃດທີ່ແປລັກໃໝ່ ພົມໂຄງນໍາສູນໃຈ ພົມໂຄງທ່ານມີ  
ປັບປຸງ ສຳຄັງແລ້ວສາມາດແກ້ປັບປຸງຫັນໄປໄດ້ຕົວຢົກ  
ຕົວຢົກການທີ່ແຍ້ນຍຸລ ພົມໂຄງ ແລະອຍາກຈະ  
ນອກສາມາຊີກທ່ານອື່ນການຕ້ວງກັງ ກີ່ສັນເປັນຈົດໝາຍ  
ຜ່ານມາທາງບຽນພາບການ

ຍ່ອເອກສາງ : ວາරສາງທາງວິຊາການທີ່ອົກ  
ໃໝ່ ເປັນການແພຍແພຣ່ຄວາມຮູ້ໃໝ່ເພື່ອໃຫ້ສາມາຊີກ  
ໄດ້ກັນຕ່ວິທາການທີ່ກັນສົມຍົດລອດວິຊາທ່ານສາມາຊີກ  
ທີ່ອ່ານມາດີ່ງຕຽບນີ້ຄົງພອຈະການຕ້ອງກັນນີ້ຈະເບື້ອງ  
ເຮືອງຂະໜາດ ແນວທາງໄດ້ມາລົງພິມພັດຍ້າກຈະຂອງເຊື່ອ  
ຂວາງສາມາຊີກໃຫ້ຊ່ວຍກັນເຂົ້າແຂງທຄວາມກັນນີ້ມາກຳ  
ຫວັງເປັນອ່າງຍິ່ງຍິ່ງວ່າຄົງຈະໄດ້ຮັບຄວາມຮ່ວມມືອັກ  
ທ່ານສາມາຊີກເປັນອ່າຍ່າງດີ

ປກປຣີ ໄທຍານນັ້ນທີ່

# **บริษัทลูพรีมโปรดักส์ จำกัด**

163/81-82 ถ.พระบินเกล้า กรุงเทพฯ 10700

โทร. 434-0036, 434-0045, 434-0053

Fax. 433-3971

**MONARCH**

**SPOTCHEM™**

ผู้แทนจำหน่ายวัสดุและอุปกรณ์วิทยาศาสตร์ทุกชนิด



321/43 ถนนนангลีนี่ ช่องนนทรี ยานนาวา กทม. 10120 ☎ 2132155-6  
321/43 Nanglinchee Road, Chongnondsee, Yannawa, Bangkok 10120 ☎ 2132155-6

ภูมิใจในเครื่องแน่น้ำผลิตภัณฑ์ที่บริษัทฯ เป็นตัวแทนจ้างนำเข้าผู้เดียวในประเทศไทย ดังต่อไปนี้

◆◆◆ ALCOHOL  
COUNTERMEASURE  
SYSTEMS

- เครื่องตรวจวัดปริมาณแอลกอฮอล์ในเลือดจากลมหายใจ

# Analox

- เครื่องตรวจหาปริมาณ Glucose, Alcohol, Lactate, Pyruvate, 3-OH Butyrate, Acetone, Urea, Ammonia, etc ใช้เวลาในการวิเคราะห์โดยทั่วไปไม่เกิน 1 นาที

# ASTECAIR®

- เครื่องป้องกันหรือกำจัดอันตรายของสิ่งมีพิษต่อคน, สารตัวอย่าง และสิ่งแวดล้อม

# Astell Scientific

- เครื่องกลั่นน้ำระบบอัตโนมัติ มีระบบ Safety เพื่อความปลอดภัย

 BIO-TEK INSTRUMENTS, INC.

- เครื่อง Automated EIA Reader & washer

# CSL

- น้ำยา Blood Bank Reagent, RPR Card test, Foetal calf serum, cell culture media

 American Dade

- เครื่องมือตรวจหาระดับยา, ยาร์โนน, เอ็นไซม์ ไทรอยด์, AIDS, Hepatitis marker, etc.

- เครื่องบันเลือดทางธนาคารเลือด และเครื่องล้างเซลล์อัตโนมัติ

- น้ำยา Coagulation ที่มีครบสมบูรณ์

- น้ำยา Control Serum ทุกชนิด



- น้ำยาแอนติบอดี้และเหลวคิททางอิมมูโนโลยี, เนื้อเยื่อวิทยา, โลหิตวิทยา, จุลทรรศน์คลินิก และงานวิจัย

 Falcon Labware®

- พลาสติกแล็บแวร์ และอุปกรณ์ดูดปล่อยทางด้านจุลทรรศน์วิทยา, เกสร์วิทยา, ห้องปฏิบัติ

FORTUNA®  
 OPTIFIX

- อุปกรณ์ ดูด ปล่อย และตัดเครฟสราระลาย และสารตัวอย่าง

กูนิใจครีร์ແນະນຳມລິກັດທີ່ບໍລິຫານ ເປັນຕົວແທນຈຳນໍາຍ່າແຕ່ຜູ້ເຂົ້າໃຈໃນປະເທດໄທ ດັ່ງຕົ້ນໄປນີ້

**HYCOR**

**Kelvinator**



**MATRIX TECHNOLOGIES CORP.**

**MEDICA**

**MediSense, Inc.**



 **ORION DIAGNOSTICA**

**ORION**

**Savant**



- ຜົດກັນທີ່ຫາງ Urinalysis ແລະ ນ້າຍາຫາງ Serology ເຊັ່ນ RF, IM, CRP, Plate IgG, A, C4

- ນ້າຍາຊຸດລໍາເຮົງຫຼັບ ດຽວຫາ Cocaine, Opiates, PCP, THC, Methamphetamine ຂອງກາຍໃນເລາ 7 ນາທີ

- ຕູ້ເຢືອແໜຶ່ງ, ຕູ້ແໜຶ່ງ, ຕູ້ເກີບເລືອດ, ຕູ້ເກີບພລາສົມ່າ ແລະ ຕູ້ເຢືນ

- ເຄື່ອງລ້າງເຄື່ອງແກ້ວ ອຸປະກິນທີ່ທາງການແພທຍໍແລະ ອຸດສາຫກຮົມທ່າງໆ ໄປ ພ້ອມອານຸ

ແລະ ຂ່າເຂົ້າໂຮບອດໂນມັດ ມີໄຫ້ເລືອກໃຫ້ຈານ 44 ໂມດເລ

- ອຸປະກິນຕຸດ, ປລ່ອຍ, ແລະ ໄດຕຣອດໂນມັດ

- ເຄື່ອງຕຽບອິເລີຄໂຕຣ້າລີ່ຫໍ ປະຫຍັດ ໃຫ້ຈານສະດວກ ການບໍາຮຸງຮັກໝາຈ່າຍ

- ເຄື່ອງຕຽບຫາເບາຫວານຂິດພົພາ ໃຫ້ຈ່າຍ ສະດວກ ໃຫ້ຜູ້ອຸດຕ້ອງ ເພີ່ມເນີນຫຼັດ

ກາຮ້າງທີ່ກ່າວກັບກົດກັນທີ່ຫາງ, ກາຮ້າງທີ່ກ່າວກັບກົດກັນທີ່ຫາງ

- ຜົດກັນທີ່ຫາງສາຫະໂຄຫົວໃຈ, ໂຄດຕິດເຂົ້ອແລະ ສາຫາອື່ນໆ

- ເຄື່ອງຕຽບຫາປໍຣິມານິປ່ຽດເນີນ

- ເຄື່ອງວັດຄວາມປົນກຽດດ່າງ, ເຄື່ອງວິເຄາະທີ່ອອນ, ເຄື່ອງວິເຄາະທີ່ແຮ່ຮາດຸແລະ ມຸງ

ແບບອຸດໂນມັດ ແລະ ເຄື່ອງມອນິເຕອຣ້ທາງໂຮງງານ

- ຜົດກັນທີ່ຫາງສາຫະໂຄຫົວໃຈ, ໂຄດຕິດເຂົ້ອແລະ ສາຫາອື່ນໆ

- ເຄື່ອງວັດຄວາມປົນກຽດດ່າງ, ເຄື່ອງວິເຄາະທີ່ອອນ, ເຄື່ອງວິເຄາະທີ່ແຮ່ຮາດຸແລະ ມຸງ

ແບບອຸດໂນມັດ ແລະ ເຄື່ອງມອນິເຕອຣ້ທາງໂຮງງານ

- ເຄື່ອງທີ່ໃຫ້ສາຮ່າເໝັ້ນຫົວແທ້ງ, ເຄື່ອງປັ້ນຄວາມເຮົວສູງ, ອ່າງຄວາມຄຸມອຸນຫກົມແບ້ຫລວ

ເຄື່ອງທີ່ໃຫ້ຈົລແທ້ງ, ປິມສູນຍາກາຕ

- ໄປປົກຕົວໂນມັດ, ເຄື່ອງດູດເຈົ້າຈາງສາລະລາຍອຸດໂນມັດ, ເຄື່ອງເຫັນຫຼວດທົດລວ

ຫົວເພລທ

# การวิเคราะห์บิลิรูบินรวมในพลาสม่าทารกแรกเกิด<sup>1</sup> โดยวิธีการทางเคมี<sup>2</sup>

สุรุพล ตั้งวารสิทธิชัย\* ลาวัลย์ อินทร์งาน\*\*

อรทัย ตั้งวารสิทธิชัย\* กมล โคติวงศ์ชา\*

ชูเกียรติ วงศ์สมิง\*

บทคัดย่อ : การวิเคราะห์หาค่าบิลิรูบินรวมในพลาสม่าของทารกแรกเกิด จำนวน 87 ราย โดยวิธีการทางเคมีนั้นพบว่า ให้ค่าความสัมพันธ์กันดี กับการวิเคราะห์ด้วยเครื่อง MICROBILIRUBINOMETER( $r = 0.951$ ,  $y = 0.180 + 0.958x$ ,  $n = 87$ ) และให้ค่าความเที่ยง (precision) ดีโดยทำ การวิเคราะห์แบบ within run assay และแบบ between run assay สำหรับพลาสม่าที่มีบิลิรูบินอยู่ในช่วงสูงมาก และสูงปานกลางให้ค่า %CV อยู่ ในช่วง 1.85 - 2.81% และ 3.32 - 5.03% ตามลำดับ และให้ค่าความถูกต้อง (accuracy) ที่ดี ความเป็นเส้นตรง (linearity) ของการวิเคราะห์ ได้อย่างน้อย 18.0 mg./dl. และความไวของการวิเคราะห์ (sensitivity) ได้ต่ำถึง 1.7 mg./dl. รายงานนี้ให้ข้อเสนอแนะว่าสามารถใช้วิธีการทางเคมี ทดแทนการใช้เครื่อง MICROBILIRUBINOMETER ได้

**Abstract :** An Evaluation of the Determination of Total Bilirubin in Newborns by Chemical Colorimetric Method. Tangvarasittichai S\*, In-ngam L\*, Tangvarasittichai O\*, Kotivongsa K\* and Vongsaming C.\* Determination of total bilirubin in newborns by a chemical colorimetric methods shows a good correlation with the MICROBILIRUBINOMETER ( $r = 0.951$ ,  $Y = 0.180 + 0.958X$ ,  $n = 87$ ). The coefficient of variation of within-run and between-run assay by this method were 1.85 ~ 2.81% and 3.32 - 5.03%. The linearity was at least 18.0 mg/dl and sensitivity of this method was 1.7 mg/dl. Bull Chiang Mai AMS 1991; 24(2): 67-72.

คำรหัส : บิลิรูบินรวม, ทารกแรกเกิด, วิธีการ  
ทำให้เกิดสี, ไมโครบิลิรูบินมิเตอร์

**Keyword :** Total Bilirubin, Newborn,  
Chemical Colorimetric Method.

\* ภาควิชาเคมีคลินิก คณะเทคโนโลยีการแพทย์  
มหาวิทยาลัยมหิดล

\*\*ภาควิชาภูมิวิชาศาสตร์ คณะแพทยศาสตร์  
ศิริราชพยาบาล มหาวิทยาลัยมหิดล

\* Department of Clinical Chemistry  
Faculty of Medical Technology,  
Mahidol University

\*\*Department of Pediatrics, Faculty  
of Siriraj Medicine, Mahidol University

การขับถ่ายบิลิรูบินของเด็กในครรภ์ และเด็กแรกเกิดมีความแตกต่างจากผู้ใหญ่ โดยระหว่างที่เด็กอยู่ในครรภ์ บิลิรูบินที่เกิดจากการทำลายเม็ดเลือดแดงของเด็ก จะถูกส่งมาทางกระแสเลือดผ่านราก เนื้อส่วนบนไห้เลี้ยงเลือดของมารดา การขับส่งบิลิรูบินผ่านรากตั้งกล่าว อาศัยอัลบูมิน ซึ่งมีระดับสูงในร่างกายของแม่ บิลิรูบินบางส่วนจะถูกกำจัดโดยตับของเด็กในครรภ์ และขับออกทางลำไส้เด็ก ในทางรากที่คลอดออกมาน แล้วบิลิรูบินทั้งหมดจะถูกกำจัดออกโดยตับของเด็กเอง เม็ดเลือดแดงมีอายุสั้นกว่าผู้ใหญ่ ตั้งนั้น ทางรากแรกจะมีบิลิรูบินมากเป็น 2-3 เท่าของ ผู้ใหญ่ โดยปกติระดับอัลฟ์ไซร์ (UDP-glucuronyl transferase) ในตัวเด็กแรกเกิด อายุ 7-10 วัน จะยังมีน้อยจึงมักเกิดภาวะตัวเหลืองในเด็กแรกเกิดได้ เด็กประมาณ 1 ในจำนวน 5 คนจะมีระดับบิลิรูบินสูงกว่า 7 มก/คล ซึ่งจะทำให้เกิดภาวะตัวเหลืองและอาจทำอันตรายต่อเซลล์สมองของเด็ก โดยเฉพาะในเด็กอายุต่ำกว่า 10 วัน เพราะการเจริญของ blood brain barrier ยังไม่สมบูรณ์ บิลิรูบินจึงผ่าน เข้าสมองได้ และเป็นสาเหตุใหญ่ที่ทำให้เกิดอันตรายต่อเซลล์ประสาทสมอง ซึ่งมีผลถึงตาย หรือทำให้เกิดปัญญาอ่อนได้ การวัดค่าบิลิรูบินรวมในทางรากเกิด ส่วนมากยังนิยมใช้เครื่องพิเศษต่างหากที่เรียกว่า MICROBILIRUBINOMETER โดยที่วิธีนี้จะใช้พลาสมาน้อยมาก โดยการจะเอาราดใส่ใน heparin hematocrit tube เพียง 3-5 หลอดเท่านั้น ก็สามารถทำการวิเคราะห์ได้ (และยังสามารถอ่านค่า hematocrit ได้อีกด้วย) หลักการทำงานของเครื่อง MICROBILIRUBINOMETER นี้ เป็นการวัดค่าของบิลิรูบินรวมในพลาสม่าโดยตรง หลักใหญ่ของเครื่องจะเป็น differential spectrophotometer โดยที่ filter ที่มีความยาว

คลื่นที่ 454 หรือ 461 nm. ซึ่งจะเป็นช่วงคลื่นที่บิลิรูบินคุณลักษณะได้สูงสุด ส่วนอีก filter หนึ่งจะมีความยาวคลื่น 540 หรือ 561 nm. เพื่อหักกลบสารรบกวน เครื่องนี้จะทำการ standardized กับ secondary standard ที่เป็นพวก multilayer colored glass standard ส่วนการวิเคราะห์ทางเคมีนี้จะใช้หลักการของ Jendrassik & Grof(1) โดยอาศัยหลักการที่ให้บิลิรูบินทำปฏิกิริยา กับ diazotized sulfanilic acid ทำให้เกิดสีของสารประกอบ azobilirubin(2) โดยที่ conjugated bilirubin สามารถทำปฏิกิริยา กับ diazotized sulfanilic acid ได้โดยตรง ขณะที่ unconjugated bilirubin นั้นต้องมีตัวเร่งปฏิกิริยา (accelerators) สารที่นิยมใช้เป็นตัวเร่งคือ caffeine, sodium benzoate, methanol, EDTA และ dimethyl sulfoxide ในวิธีที่ทำการศึกษานี้จะใช้ caffeine และ sodium benzoate เป็นตัวเร่ง ซึ่งเป็นวิธีที่ประยุกต์มาจาก Jendrassik & Grof(1) สามารถวิเคราะห์ได้ทั้ง conjugated และ total bilirubin การศึกษานี้ ได้ทำเพื่อนำวิธีการวิเคราะห์ทางเคมี มาทดสอบวิธีที่ต้องใช้เครื่อง MICRO-BILIRUBINOMETER ซึ่งเป็นเครื่องมือที่มีราคาแพง และใช้วัสดุค่าบิลิรูบินรวมในทางรากได้เพียงอย่างเดียว การใช้วิธีวิเคราะห์ทางเคมีทำให้สามารถประยุกต์และประมาณในการจัดซื้อเครื่อง MICROBILIRUBINOMETER อีกทั้งสารเคมีที่เตรียมใช้ในการวิเคราะห์นี้ สามารถที่จะวิเคราะห์หาบิลิรูบิน ในซีรั่มทั่ว ๆ ไปได้ เช่นกัน ทำให้สามารถนำวิธีนี้มาใช้ได้ในห้องปฏิบัติการทั่วๆ ไป

## วัสดุและวิธีการ

การเตรียมน้ำยาวิเคราะห์ โดยแบ่งออกเป็น 4 ขวด ดังนี้

1. Sulfanilic acid เข้มข้น 29 mmol/l ละลายน้ำ 0.17 N HCl และโดยใช้ความร้อนช่วย
2. Sodium nitrite 25 mmol/l
3. Caffeine solution ประกอบด้วย caffeine 0.26 mol และ sodium benzoate 0.52 mol ในน้ำกลั่น 1 ลิตร
4. Tartrate solution ประกอบด้วย sodium tartrate 0.93 mol/l ใน 1.9 N NaOH

## สารตัวอย่าง

1. พลาสม่าจาก heparin hematocrit tube ที่เจ้าจากผู้ป่วยทางการของภาควิชาภูมิฯ ของโรงพยาบาลศิริราช นำมาตรวจ bilirubin ด้วยเครื่อง MICROBILIRUBINOMETER และวิธีการทางเคมี
2. ซีรั่มแท้ (control serum) ชนิด Abnormal ซึ่งให้ค่าบิลิรูบินระดับสูงของ CIBA CORNING (Lot No.037802)
3. ซีรั่มรวม (pooled serum) ที่มีค่าบิลิรูบินสูงๆ
4. Calibration serum ของ Boerinder Mannheim (Lot No.62498) ใช้กับวิธีการวิเคราะห์ทางเคมี

## วิธีการวิเคราะห์

1. ใช้พลาสม่าจาก heparin hematocrit tube ปั่นแล้วหักออกເອานเฉพาะส่วนของพลาสม่า คูณพลาสม่า 50 μl ลงในหลอดทดลอง
2. ตูด sulfanilic acid 100 μl ผสมให้เข้ากัน
3. เติม sodium nitrite 1 หยด (50 μl) ผสม

4. เติม caffeine solution ลงไป 500 μl ผสมให้เข้ากันแล้วตั้งทิ้งไว้ 10 นาที
5. เติม tartrate solution ลงไป 500 μl ผสมให้เข้ากันแล้วตั้งทิ้งไว้ 5 นาที
6. จากนั้นนำมาอ่านค่าด้วยเครื่อง Photometer 4010 (Boehringer Mannheim West Germany) ที่ 578 nm. โดยใช้น้ำกลั่น ปรับศูนย์ (zero, blank)

## วิธีการทดลอง

1. ศึกษาความสัมพันธ์ ของผลการวิเคราะห์บิลิรูบินรวมโดยวิธีการทางเคมี กับวิธีการด้วยเครื่อง MICROBILIRUBINOMETER (American Optical) โดยทำการวิเคราะห์ในเด็กทางทั้งสิ้น 87 ราย
2. ทดสอบความเที่ยง (precision) ทำการวิเคราะห์ค่าบิลิรูบินรวมในซีรั่ม (pooled serum) 2 ระดับ คือ ระดับสูงมาก และระดับปานกลาง โดยทำการวิเคราะห์แบบทำไปพร้อมกัน (within-run assay) และ แบบวันต่อวัน (between-run assay) จำนวน 20 ครั้ง
3. ทดสอบความถูกต้อง (accuracy) โดยทำการวิเคราะห์ในซีรั่มแท้ (serum control) ชนิดค่าผิดปกติ(abnormal) ที่มีค่าบิลิรูบินรวมสูง (CIBA CORNING) จำนวน 10 ครั้ง
4. ทดสอบความเป็นสันคง (linearity) นำซีรั่มที่มีค่าบิลิรูบินรวมสูงๆ มาทำการเจือจางที่ ระดับตั้งแต่ 1.7–17.8 mg/ดล. ด้วยน้ำกลั่น แล้วนำมาทดสอบค่า linear regression
5. ทดสอบความไวของวิธีการวิเคราะห์ (sensitivity) โดยทำการทดสอบในตัวอย่างที่มีค่าบิลิรูบินรวมต่ำที่ dilution ที่ต่ำที่สุดที่สามารถ

วิเคราะห์ได้โดยเทียบกับค่าที่ได้จากการคำนวณใน การศึกษาจากข้อ 4.

#### ผลการทดลอง

1. ผลจากการทดสอบความสัมพันธ์ของวิธีการทางเคมี กับวิธีที่วัดด้วยเครื่อง MICROBILIRUBINOMETER ให้ค่าความสัมพันธ์กันเดjmak r = 0.951, y = 0.180 + 0.958x, n = 87 (รูปที่ 1)

2. ความเที่ยงของวิธีการวิเคราะห์ (precision) ให้ค่าความเที่ยงที่ยอมรับได้ จากการวิเคราะห์แบบทำไปพร้อมกัน (within-run assay) 20 ครั้ง โดยค่าเฉลี่ยที่ 5.94 มก/คล. ให้ค่า %CV เป็น 2.81 และค่าเฉลี่ยที่ 15.76 มก/คล. ให้ค่า %CV เป็น 1.85 และวิเคราะห์แบบวันต่อวัน (between-run assay) โดยค่าเฉลี่ยที่ 5.94 มก/คล. ให้ค่า

%CV เป็น 5.03 และค่าเฉลี่ยที่ 15.76 มก/คล. ให้ค่า %CV เป็น 3.32 (ตารางที่ 1)

3. ความถูกต้องของวิธีการวิเคราะห์ (accuracy) โดยทำการวิเคราะห์ในซีรัมแท้ ของ CIBA CORNING ซึ่งกำหนดค่าเฉลี่ยเท่ากับ 5.1 มก/คล. และมีค่าในช่วง 3.8 - 6.4 มก/คล. จำนวน 10 ครั้ง ได้ค่าเฉลี่ยเท่ากับ 5.22 มก/คล. ซึ่งค่าที่ได้จะอยู่ในช่วง 5.0 - 5.4 มก/คล.

4. ทดสอบความเป็นเส้นตรง (linearity) ให้ค่าความเป็นเส้นตรงได้อย่างน้อยถึง 18.0 มก/คล. และเมื่อทดสอบ regression line ให้ค่า r = 0.9998, slope = 1.0060 (รูปที่ 2)

5. ทดสอบความไวของวิธีการวิเคราะห์ (sensitivity) โดยวิธีการวิเคราะห์นี้ สามารถวิเคราะห์ในค่า dilution ต่ำสุด 1.7 มก/คล. ได้ถูกต้อง (จากการศึกษาใน ในข้อ 4)

Table 1. Precision of the chemical colorimetric method for total bilirubin determination

Lower concentration						Higher concentration					
within run			between run			within run			between run		
X	SD	%CV	X	SD	%CV	X	SD	%CV	X	SD	%CV
5.94	0.167	2.811	5.94	0.299	5.03	15.76	0.292	1.85	15.76	0.524	3.32

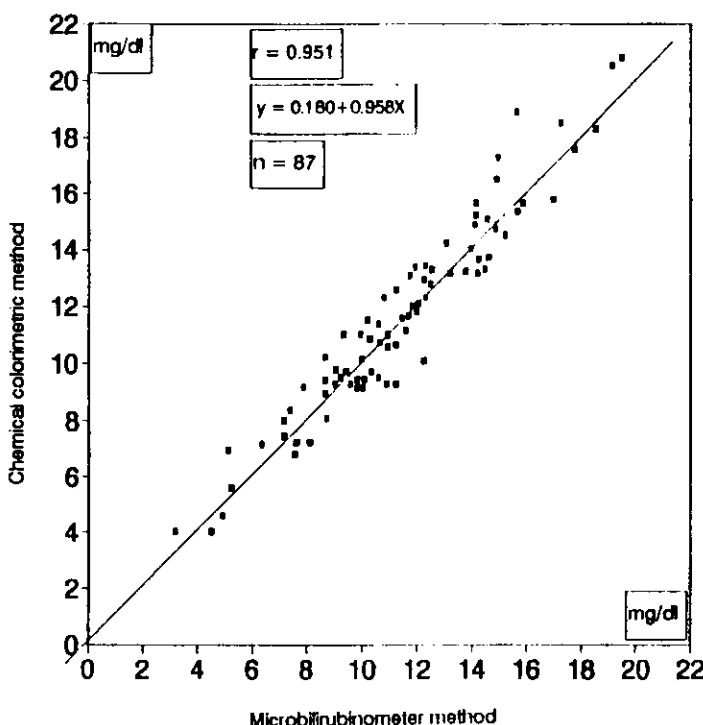


Fig. 1 Correlation of Total bilirubin determination by Microbilirubinometer and Chemical colorimetric method.

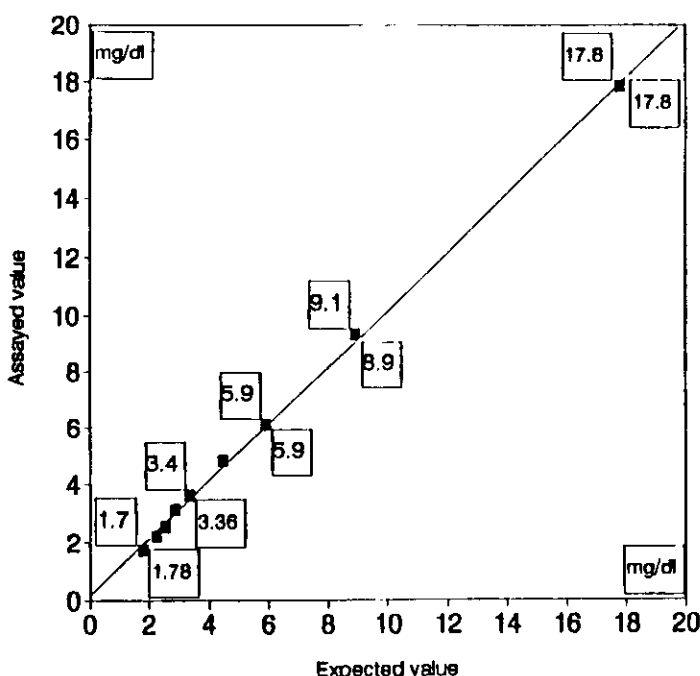


Fig. 2 Linearity of the Chemical colorimetric method of Total bilirubin determination.

# วารสารเทคนิคการแพทย์เชียงใหม่

## วิจารณ์

จากการทดลองทั้งหมดจะเห็นได้ว่า วิธีการทางเคมีนี้มีความสัมพันธ์กันดีกับ วิธีวิเคราะห์ด้วยเครื่อง MICROBILIRUBINOMETER ความเที่ยง ความถูกต้อง และความเป็นสั้นตรงของวิธีการวิเคราะห์เป็นที่ยอมรับได้ ทำให้มั่นใจยิ่งขึ้น ว่า การวิเคราะห์นี้สามารถที่จะใช้ทดแทนการวิเคราะห์ด้วยเครื่อง MICROBILIRUBINOMETER ได้ ทำให้ประหยัด ไม่ต้องซื้อเครื่อง MICROBILIRUBINOMETER ทั้งการใช้สารตัวอย่างก็ใช้จำนวนน้อย เหมือนกับที่ใช้กับเครื่อง MICROBILIRUBINOMETER และเรายังเชื่อว่าวิธีการทางเคมีน่าจะให้ค่าที่ถูกต้องกว่า โดยจากการวิเคราะห์ linearity ในแต่ละ dilution เทียบกับค่าที่ได้จากการคำนวณพบว่าถูกต้องใกล้เคียงกับค่าที่ได้จากการคำนวณ ซึ่งแสดงว่า สิ่งที่เกิดขึ้นนี้เป็นการดำเนินการที่ถูกต้องตามที่ต้องการ ไม่เป็นการวัดเทียบส่วนของพลาสม่าโดยตรง อีกทั้งยังสามารถวิเคราะห์หาในรูปของบิลิรูบินรวม หรือรูปของ conjugate/free form ได้อีกด้วย สิ่งที่ต้องคำนึงถึงในวิธีนี้ คือ Spectrophotometer ที่ใช้นั้น จะต้องมีความไว ความเป็นสั้นตรงของเครื่องสูงพอต่อ ต้องมีระบบของ Photometric ที่ดีพอสมควร และถ้าเครื่องที่ใช้เป็นเครื่องรุ่นเก่า ควรจะต้องมีการทดสอบให้ดีเสียก่อนว่าสามารถวิเคราะห์โดยวิธีนี้ได้ หรือไม่ และเครื่องสามารถให้ค่าความเป็นสั้นตรงได้ถูกต้อง รวมถึงการเลือกใช้สารมาตรฐานหรือ calibrator ที่ถูกต้องและสะดวก การใช้ calibration serum หรือ serum control ที่ทราบค่าแน่นอน จะสะดวก และถูกต้องกว่าการที่จะมาซื้อสารมาตรฐานบิลิรูบิน ซึ่งจะสั่นเปลืองมากกว่า และความถูกต้อง น้อยกว่า และจากการ

ศึกษาทดลองใช้ในห้องปฏิบัติการของโรงพยาบาลแห่งหนึ่ง โดยใช้มาเป็นเวลา 3 ปี พบร่วมให้ผลเป็นที่น่าพอใจ และเป็นที่รือถือต่อกฎหมายแพทย์อย่างยิ่ง

## เอกสารอ้างอิง

1. Jendrassic L, Grof P. Vereinfachte Photometrische Methoden Zurbestimmung des Blutbilirubins. Biochem/Z 1983;297: 81.
2. Tietz NW. Textbook of Clinical Chemistry. WB Saunders Co, Philadelphia. 1982; 1368-1371.
3. Doumas BT, Perry BW, Sasse EA, et al. Standardization in bilirubin assays : Evaluation of selected methods and stability of bilirubin solutions. Clin Chem 1973;19:984-993.
4. Lo DH, Wu TW. Assessment of the fundamental accuracy of the Jendrassik-Grof total and direct bilirubin assays. Clin Chem 1983; 9:31-36.
5. Wu TW, Dappen GM, Powers DM, et al. : The Kodak Ektachem Clinical Chemistry Slide for measurement of bilirubin in newborns : Principle and performance. Clin Chem 1982; 28:2366-2372.
6. Gambino SR. Bilirubin (modified Jendrassik and Grof) In : Meites S. Standard Methods of Clinical Chemistry. New York : Academic Press. 1965; 5:55-74.

# การเตรียมน้ำยาสำเร็จรูปสำหรับ ตรวจหาแอนติโนวเคลลียแอนติบอดี

ปกรณ์ ไวยานันท์\* ยุพิน สุศิริวัฒนานนท์\*\*

บทคัดย่อ งานวิจัยนี้ใช้ทดสอบเครื่อง DNA-latex agglutination (LA) kit ซึ่งมอง เมื่อนำไปทดสอบ หาแอนติโนวเคลลียแอนติบอดีในชิ้นผู้ป่วย SLE จำนวน 104 ราย โดยศึกษาเปรียบเทียบกับวิธี IIF ผลปรากฏว่า LA kit มีความไว 85.5% มีความจำเพาะ 95.3% และมีความสัมพันธ์กันอย่างมาก กับวิธี IIF โดยให้ผลตรงกันทั้งบวกและลบ จำนวน 92 ราย หรือ 88.5% ส่วนผลที่ไม่ตรงกัน 12 ราย หรือ 11.5% เป็น IIF+, LA- ทั้งสิ้น นอกจากนี้เมื่อนำ LA kit ไปทดสอบกับชิ้นของผู้ป่วย โรคอื่นๆ ผลปรากฏว่า ให้ผลบวกปลอมกับโรคข้อ อักเสบเรumatic 4 ใน 20 ราย, โรคไทฟอยด์ 2 ใน 50 ราย และโรคซิฟิลิส 2 ใน 30 ราย ส่วน โรคติดเชื้อไปร์โตรีชัว 20 ราย และผู้บริจาคโลหิต 50 ราย ให้ผลลบทั้งหมด รวมแล้ว LA kit ให้ผลบวกปลอม 4.7% ฉะนั้น LA kit ที่เตรียมขึ้นของ น่าจะนำไปใช้ตรวจหาแอนติโนวเคลลียแอนติบอดี เพื่อช่วยวินิจฉัยโรค SLE ได้ เพราะมีความไว และความจำเพาะสูง ทำได้ง่าย ไม่ต้องใช้ครึ่งมือ ที่มีราคาแพง จึงเหมาะสมสำหรับห้องปฏิบัติการทั่วไป

คำรหัส : ลาเท็กแอกกลูติเนชัน, แอนติโนวเคลลียแอนติบอดี, ความไว, ความจำเพาะ

**Abstract :** Preparation of DNA-latex kit for detection of antinuclear antibodies. Thaiyanan P\* and Susiriwattananon Y\*\* A preparation of latex agglutination (LA) kit by coating DNA on latex particles for the detection of antinuclear antibodies (ANA) in systemic lupus erythematosus (SLE) was described. Sensitivity and specificity of the LA kit were 88.5% and 95.3%, respectively, with great correlation with the indirect immunofluorescence (IIF). Results of LA and IIF tested in 104 SLE sera were the same in 92 cases (88.5%). On the other hand, discrepancy result was found in 12 case (11.5%). A kit was also studied in non-SLE sera; 4 out of 20 rheumatoid arthritis, 2 out of 50 typhoid fever and 2 out of 30 syphilis gave false positive results, whereas 20 sera of E.histolytica infection and 50 blood donor were all negative. In conclusion, the LA kit is adequately sensitive, specific and practical method to be

---

งานวิจัยนี้ได้รับทุนอุดหนุนจากสภากาชาดไทยแห่งชาติ ประจำปี 2531

\* ภาควิชาภูมิคุ้มกันวิทยาคลินิก คณะเทคโนโลยีการแพทย์ มหาวิทยาลัยเชียงใหม่

\*\* หน่วยชั้นสูตรโรค โรงพยาบาลศรีนครินทร์ กรุงเทพฯ

การวินิจฉัยโรค Systemic Lupus Erythematosus (SLE) ทางห้องปฏิบัติการอาศัย การตรวจหา antinuclear antibodies (ANA) เป็นหลัก ซึ่งวิธีตรวจหา ANA ทางห้องปฏิบัติการ มีอยู่หลายวิธีได้แก่ immunodiffusion (1), complement fixation (2), latex or bentonite agglutination (3,4), passive cutaneous anaphylaxis (5), hemagglutination(6,7) indirect immunofluorescence (IF)(8) enzyme-linked immunosorbent assay (9), และ radioimmunoassay (10) จะเห็นว่าการตรวจหา ANA มีหลายวิธีในแต่ละวิธีก็มีทั้งข้อดีข้อเสีย จึงต้องเลือกใช้ตามความเหมาะสมของห้องปฏิบัติ การแต่ละแห่ง ส่วนใหญ่แล้วนิยมใช้วิธี IF (8) เพราะมีความไวสูง และยังสามารถแยกชนิดของ แอนติบอดีได้ด้วย (11) ที่นิยมรองลงมาได้แก่วิธี hemagglutination เนื่องจากทำได้ง่าย เครื่องมือไม่แพง แต่น้ำยาเก็บได้ไม่นาน งานวิจัยนี้จึงได้เลือกวิธี latex agglutination (LA) มาศึกษาพัฒนา เพราะเป็นวิธีที่ทำได้ง่าย อ่านผลได้รวดเร็วและมีความไวสูง เครื่องมือก็ไม่ต้องใช้อะไรมาก แต่มีข้อเสียคือต้องซื้อน้ำยาเป็นชุด (kit) จากต่างประเทศ จึงมีราคาแพง งานวิจัยนี้มีวัตถุประสงค์เพื่อศึกษาวิธี การเคลือบ DNA บนเม็ดลาเท็ก (latex) เพื่อนำไปตรวจหาแอนติบอดีต่อนิวเคลียสในคนไข้ SLE โดยเทียบกับวิธีมาตรฐาน คือ IF ต่อไป

used for the detection of ANA in SLE patients. Bull Chiang Mai AMS 24(2): 73-80.

**Keyword:** latex agglutination, antinuclear antibody, sensitivity, specificity.

### วัสดุและวิธีการ

ศูรุน จากผู้ป่วยที่สงสัยว่าจะเป็นโรค SLE ที่ส่งมาตรวจหา ANA ณ ภาควิชาจุลทรรศน์ฯ คณะแพทยศาสตร์ มหาวิทยาลัยเชียงใหม่ จำนวน 104 ราย จากผู้ป่วยที่ให้ผลลบกtot rheumatoid factor test 20 ราย, widal test (titer ต่อ O antigen > 80, H antigen > 160) 50 ราย, VDRL test (titer > 8) 30 ราย, E.histolytica hemagglutination test (titer > 640) 20 ราย และผู้บวบตาคลื่น 50 ราย ศูรุนหั้งหมุดนีก์บีวีร์ที -20 °C จนกว่าจะนำออกมากทดสอบ

วิธีเตรียม DNA จากเม็ดเลือดขาว (12) ใช้มันหมู 50 กรัมผสมกับ citrate buffer saline, pH 7.4 (CBS) 200 มล. ปั่นในเครื่อง blender กรองผ่านผ้าก๊อช ปั่นล้างด้วยน้ำเกลือ 3 ครั้ง นำเซลล์มาละลายใน lysis buffer 3 ครั้งเพื่อกำจัด เม็ดเลือดแดง นำเม็ดเลือดขาวที่ได้มาละลายใน 2.6 M NaCl 100 มล. เติม 5% SDS-45% EtOH ลงไปอีก 5 มล. คนให้เข้ากันก็นำไปในตู้เย็นข้าม

This work was supported by a research grant from The National Council Foundation.

\* Department of Clinical Immunology, Faculty of Associated Medical Sciences,  
Chiang Mai University

\*\* Laboratory Diagnostic Unit, Children Hospital, Bangkok

คืน แล้วนำออกมาน้ำน้ำยาใส่ส่วนบนไว้ เดินด้วย 95% EtOH ลงไปช้าๆ คนด้วยแท่งแก้ว จะได้เส้นตะกอนของ DNA พันติดแท่งแก้ว ขูดออกมาล้างใน 75% EtOH 2-3 ครั้ง ละลายตะกอน DNA ใน citrate buffer เก็บไว้ที่ -20 °C จนกว่าจะนำออกมายัง (หมายเหตุ : น้ำยาที่ใช้ห้องหมกต้องทำให้เย็นก่อน)

**วิธีเคลือบ DNA บนเม็ดลาเท็ก นำ DNA ที่เจือจางใน 0.1 M glycine buffer saline, pH 8.2 (GBS) 1 ส่วนมาผสมกับลาเท็ก 1 ส่วนและ GBS อีก 1 ส่วนนำไปเขย่าใน shaker bath 37 °C นาน 1 ชม. แล้วบีนล้างด้วย GBS ที่ผสมด้วย 0.2% tween-20 2 ครั้งสุดท้ายนำมาละลายใน GBS ที่มี 0.5% bovine serum albumin (BSA) ผสมอยู่ด้วยให้ได้ความเข้มข้นสุดท้ายของลาเท็คประมาณ 10%**

วิธีทดลอง หยดซีรัมที่ต้องการทดสอบ 1 หยด ผสมกับ DNA-latex 1 หยด กวนด้วยไม้มีจมูกันประมาณ 3 นาที ถ้านายาโดยดูการจับกลุ่มกันของเม็ดลาเท็ก แล้วให้ระดับความแรงของการจับกลุ่มเป็น 1+ ถึง 4+ ตามลำดับ ถ้าไม่จับกลุ่มถือว่าให้ผลลบ

การทดสอบความไว นำซีรัมผู้ป่วย SLE มา 3 ราย เจือจางด้วย GBS ให้เป็น 1:5, 1:10 จนถึง 1:640 นำแต่ละส่วนมาทดสอบด้วยวิธี LA และ IIF เพื่อเปรียบเทียบกันและทดสอบกับซีรัมของผู้สูงสัยว่าจะเป็นโรค SLE 104 รายด้วย

การทดสอบความจำเพาะ นำ DNA-latex ที่เตรียมได้ไปทดสอบกับซีรัมของผู้ที่เป็นโรคอื่น ๆ ที่ไม่ใช่ SLE ได้แก่ ข้ออักเสบรูมาตอยด์, ไทฟอยด์, ซิฟิลิส, ติดเชื้อเอปีโนวา และ ซีรัมของ

### คนปกติ

การทดสอบความคงตัว นำ DNA-latex ไปเก็บไว้ในตู้เย็น 4 °C เมื่อครบแต่ละสัปดาห์นำออกมาทดสอบ กับซีรัมของและลบที่แบ่งเก็บไว้ที่ -80 °C

การทดสอบความเทื่องถือได้ โดยเก็บซีรัมที่ให้ผลบวก (2+) ในวิธี LA แบ่งใส่ขวดเล็กๆ เก็บไว้ที่ -80 °C หลังจากเก็บได้ 0, 3, 7 และ 14 วัน นำออกมาระดับกับ DNA-latex ที่เก็บไว้ในตู้เย็นครั้งละ 5 หลอด

### ผลการทดลอง

จากการทดลองทางสภาวะที่เหมาะสมสำหรับการเคลือบ DNA บนเม็ดลาเท็ก พบร่วมกับความเข้มข้นของ DNA ที่เหมาะสมคือ 1:4 หรือ 1:8 ปริมาณของ Tween-20 ที่ใช้ผสมกับ GBS สำหรับล้างคือ 0.2%, pH ของ buffer 7.8-10.0 ส่วนเวลาสำหรับการเคลือบ 30-60 นาที และอุณหภูมิที่เหมาะสม 37 °C การหาความไวของวิธี LA เทียบกับ IIF พบร่วมวิธี IIF มีความไวโดยเฉลี่ยสูงกว่า LA ประมาณ 20 เท่า ตั้ง เช่น รายที่ 1 32 เท่า ( $640/20=32$ ) รายที่ 2 16 เท่า และรายที่ 3 20 เท่า (ตารางที่ 1) การหาความจำเพาะของ DNA-latex ปรากฏว่าให้ผลบวกปลอมกับผู้ที่เป็นโรคข้ออักเสบรูมาตอยด์ 4 ใน 20 ราย (20%), โรคไทฟอยด์ 2 ใน 50 ราย (4%), โรคซิฟิลิส 2 ใน 30 ราย (6.7%) ส่วนผู้ติดเชื้อเอปีโนวา (E.histolytica) และผู้บวชราคานิล็อกให้ผลลบหั้งหมก (ตารางที่ 2) เมื่อคิดรวม 170 ราย ให้ผลบวกปลอม 8 ราย คิดเป็น 4.7% หรือคิดเป็นค่าความจำเพาะได้เท่ากับ 95.3% การหาความคงตัวโดยเก็บ LA kit ไว้ที่ 4 °C เมื่อนำ

# วารสารเทคนิคการแพทย์เชียงใหม่

มาทดสอบกับซีรัม 4+ ในแต่ละสัปดาห์ ปรากฏว่า หลังจากเก็บไว้ได้นาน 4 สัปดาห์ ปฏิกิริยาเริ่มลดลงจาก 4+ เป็น 3+ และในสัปดาห์ที่ 5 เหลือ 2+ (ตารางที่ 3)

การหาค่าความเชื่อถือได้ของ DNA-latex โดยนำออกมาทดสอบกับซีรัมที่ให้ผลบวกระดับ 2+ จำนวน 5 ราย หลังจากเก็บซีรัมนั้นไว้เป็นเวลา 0, 3, 7 และ 14 วัน ผลปรากฏว่าไม่มีการเปลี่ยนแปลงในปฏิกิริยาเลย (ตารางที่ 4)

การเปรียบเทียบวิธี LA และ IIF ในการตรวจแอนติโนวูลิย์และแอนติโนดีในผู้ป่วย SLE จำนวน 104 ราย ปรากฏว่าให้ผลตรงกันทั้งบวกและลบ 92 ราย คิดเป็น 88.5% (ตารางที่ 5) และผลไม่ตรงกัน 12 ราย เป็น IIF บวก ส่วน LA ลบทั้งหมด และไม่พบ LA บวก, IIF ลบเลย

## วิจารณ์

การตรวจสอบทางห้องปฏิบัติการในปัจจุบัน วิธี agglutination ให้ผลเร็วที่สุดโดยเฉพาะอย่างยิ่ง วิธี LA ใช้เวลาเพียง 2-3 นาทีก็อ่านผลได้แล้ว

และเป็นวิธีที่ให้ผลเชื่อถือได้ทั้งในแง่ความจำเพาะ, ความไวและความคงตัว ผู้วิจัยจึงพยายามที่จะพัฒนาวิธี LA เพื่อนำมาใช้ตรวจสอบหรือวินิจฉัยโรคให้มีมากยิ่งขึ้น ปัญหาใหญ่ของวิธี LA คือ latex particle มีราคาแพงมาก (ซึ่งจะพัฒนาขึ้น บาก) จึงไม่มีใครกล้าที่จะซื้อมาทำการทดลองสำหรับ latex ที่ใช้ในการทดลองนี้ผู้วิจัยได้เตรียมขึ้นมาเองจากวัสดุที่เหลือใช้ (microtiter plate) เคยทดลองเคลือบลาเท็กด้วยโกลบูลิน ซึ่งเป็นไปรอดเพื่อใช้ตรวจหารูมาตอยด์แฟลเตอร์ก็ได้ผลเป็นที่น่าพอใจ (13) งานวิจัยนี้จึงได้ทดลองกับสาร DNA บ้าง จุดสำคัญในการเคลือบสารบนลาเท็คนั้นจำเป็นต้องหาสภาวะที่เหมาะสมของสิ่งที่เกี่ยวข้อง อันได้แก่ ปริมาณของแอนติเจนที่จะนำไปเคลือบปริมาณลาเท็ค ขนาดของ coating buffer ความเป็นกรดค้าง รวมทั้งสภาวะอื่นๆ ด้วย จะเห็นว่างานวิจัยนี้ไม่ได้หาปริมาณของ DNA ที่แน่นอนออกมาร่วมกับการเคลือบในครั้งนั้นๆ เนื่องจากว่าในการเคลือบแต่ละครั้งนั้นจะต้องทำ titration ทุกครั้งจึงจะได้ผลดี

ตารางที่ 1 แสดงการเปรียบเทียบความไวของวิธี LA กับ IIF

method	Titer of serum		
	No.1	No.2	No.3
IIF	640	160	20
LA	20	10	1

ตารางที่ 2 แสดงความจำเพาะของ DNA latex

Disease	No.	DNA latex		%
		Positive	Negative	
Rheumatoid arthritis	20	4*	16	20
Typhoid	50	2	48	4
Syphilis	30	2*	18	6.4
E.hist infection	20	0	20	0
Blood donor	50	0	50	0
Total	170	8	162	4.7
%	100	4.7	95.3	

\* ให้ผลบวกกับ IIF ด้วย

ตารางที่ 3 แสดงความคงตัวของ DNA latex ที่เก็บไว้ที่ 4°C

Serum	Week					
	0	1	2	3	4	5
Positive	4+	4+	4+	4+	3+	2+
Negative	0	0	0	0	0	0

## วารสารเทคนิคการแพทย์เชียงใหม่

ตารางที่ 4 แสดงความเชื่อถือได้ของ DNA latex

Serum	Day			
	0	3	7	14
Positive 2+ (5 sample)	5/5	5/5	5/5	5/5

ตารางที่ 5 แสดงการเปรียบเทียบวิธี LA กับ IIF ในการตรวจ ANA ในชั้นรุนผู้ป่วย SLE 104 ราย

จำนวน	ผลตรวจกัน		ผลไม่ตรวจกัน	
	LA-,IIF-	LA+,IIF+	LA-,IIF+	LA+,IIF-
104	21	71	12	0
%	88.5		11.5	

วิธีการเคลื่อนส่วนใหญ่อาศัยวิธีของ Singer and Plotz(14) แต่วิธีดังกล่าวไม่มีการบันลังเม็ด ลาเท็คหลังจากเคลื่อนแอนติเจนแล้ว คือนำไปใช้แลย โดยไม่มีการล้างอาบน้ำอ่อนติดจนส่วนกินออกจึงอาจจะทำให้ความไวของ การทดสอบลดลง ทำนองเดียว กรณี pH ของ buffer ถ้าสูงหรือต่ำเกินไปอาจทำให้ความไวลดลง เช่นกัน แต่ถ้าอยู่ในช่วง 7.8-10.0 พบร่วมความไวไม่เปลี่ยนแปลง (ไม่ได้แสดงผล) ปริมาณ DNA ก็เช่นเดียวกันถ้าใช้มาก หรือน้อยไปก็ให้ความไวลดลง (ไม่ได้แสดงผล) สำหรับเวลาในการเคลื่อน 30 นาที ให้ผลสูงสุด แล้ว แต่งานวิจัยนี้ใช้ 60 นาที ตลอดเพื่อกันความผิดพลาด สำหรับอุณหภูมิที่ 37 °C และ 45 °C ผลไม่ต่างกันแต่ถ้าทำที่ 25 °C หรือ 56 °C ความไวลดลงอย่างเห็นได้ชัด (ไม่ได้แสดงผล)

การหาความไวของวิธี LA เมื่อเทียบกับวิธี IIF พบร่วมวิธี LA มีความไวต่ำกว่าประมาณ 20 เท่า (ตารางที่ 1) ซึ่งตามความเป็นจริงวิธี LA น่าจะได้ความไวสูงกว่านี้ คือความไวต่ำกว่า IIF ประมาณ 5 เท่า(15) แต่เมื่อเปรียบเทียบวิธีทั้งสองในการตรวจหา DNA ในชีรัมผู้ป่วยรายต่อรายแล้ว พบร่วมว่าให้ผลบวกและลบตรงกัน 92 ใน 104 ราย หรือมีความไว 88.5% (ตารางที่ 5)

ความจำเพาะของ DNA-latex มีค่า 95% (ตารางที่ 2) ซึ่งนับว่าสูงมาก แต่ถ้าดูพะໂຣ จะเห็นว่าໂຣคืออักเสบรูมาตอยด์ให้ผลบวกปลอมถึง 20% ซึ่งใกล้เคียงกับผลการทดลองของ Fessel และคณะ (3) ที่ให้ผลบวกปลอม 22% แต่ถ้าทำด้วยวิธี hemagglutination ให้ผลบวกปลอมถึง 52% ส่วน Harisdangkul และ Bhuvanath (16) ให้ผลบวกปลอม 4.4% (1 ใน 22 ราย) นอกจากนั้น DNA-latex ยังให้ผลบวกปลอมกับซีซิลลิสได้

อีก 6.7% Ellat และคณะ (10) ทดสอบด้วยวิธี RIA ให้ผลบวกปลอมกับโรคซิลลิส 20% (3 ใน 15) DNA-latex ที่ตรวจขึ้นเองนี้ยังมีความคงตัวค่อนข้างต่ำ คือคงตัวอยู่ได้เพียง 1 เดือน ปฎิกิริยาเริ่มต่ำลง (ตารางที่ 3) จากการเปรียบเทียบการเติมและไม่เติม BSA ลงไปด้วย ปรากฏว่าถ้าไม่เติม BSA ลงไปจะเก็บไว้ได้นานกว่าในเรื่องของความคงตัวนี้ยังต้องศึกษากันต่อไป อย่างไรก็ตามในเรื่องของความเชื่อถือได้นั้น (ตารางที่ 4) จากการทดลองทำซ้ำๆ กัน 4 ครั้งๆ ละ 5 ตัวอย่าง ในช่วง 2 สัปดาห์ ผลไม่แตกต่างกันเลยแสดงว่าวิธี LA เป็นวิธีที่เชื่อถือได้

#### เอกสารอ้างอิง

1. Arana R, and Seligmann M. Antibodies to native and denatured DNA in SLE. J Clin Invest 1967;46:1867-70.
2. Robbins WC, Holman HR, Deicher H, and Kunkel HG. Complement fixation with cell nuclei and DNA in systemic lupus erythematosus. Proc Soc Exp Biol Med 1957;96:575-9.
3. Fessel WJ, Epstein WV, Engleman EP. Immunological studies in the connective tissue diseases. Proc Soc Exp Biol Med 1958;98: 820-3.
4. Bozicevich J, Nasou JP, and Kayhoe DE. Deoxyribonucleic acid (DNA)-betonite flocculation test for lupus erythematosus. Proc Soc Exp Biol Med 1960;103:636-40.

5. Deicher HGR, Holman HR, and Kunkel HG. Passive cutaneous anaphylaxis with systemic lupus erythematosus : serum factor and isolated DNA. *J Immunol* 1960; 84:106-11.
6. Jokinen EJ, and Julkunen H. DNA hemagglutination test in the diagnosis of systemic lupus erythematosus. *Ann Rheum Dis* 1965;24:477-80.
7. Inami YH, Nakamura RM, and Tan EM. Microhemagglutination test for detection of native and single-stranded DNA antibodies and circulating DNA antigen. *J Immunol Methods* 1973;3:287-9.
8. Tilkian SM, Conover MB, and Tilkian AG. Clinical implication of laboratory test. 2nd ed. The C.V. Mosby Company Press, London. 1979;217-20.
9. Mach PS, Brouilhet H, and Inserm A. D-penicillamine : a modulation of anti-DNA antibodies productions. *Clin Res* 1959;7: 121-2.
10. Elat D, Zlotnick AY, and Fischel R. Evaluation of the cross-reaction between anti-DNA and anti-cardiolipin antibodies in SLE and experimental animals. *Clin Exp Immunol* 1986;65:269-78.
11. Stites DP, Stobo JD, Fudenberg HH, and Wells JV. Basic and Clinical Immunology. 4th ed. Lange Medical Publication. California USA. 1982;430-34.
12. พนม พุตราภูล, สุริย พุตราภูล และ ศิริรัตน์ สารเวก. Experimental method in Biochemistry. ภาควิชาเคมี คณะวิทยาศาสตร์ มหาวิทยาลัยเชียงใหม่. 2526;71-73.
13. ปกรณ์ ไถานันท์. การผลิตน้ำยา\_rumaตอยด์-แพคเตอร์ทส์ เพื่อใช้เอง. คณณเทคโนโลยีการแพทย์ มหาวิทยาลัยเชียงใหม่ 2533 (อัสดำเนา)
14. Singer JM, and Plotz CM. The latex fixation test I. Application to the serologic diagnosis of rheumatoid arthritis. *Am J Med* 1956;21:888-92.
15. Davis BD, Dulbecco R, Eisen HN, Ginsberg HS, and Wood WB. Jr. Microbiology. 2nd ed. Harper & Row Publishers. Inc. Maryland. USA. 1973;394.
16. Harisdangkul V, and Bhuvanath S. Detection of anti-DNA antibody by Ouchterlony immunodiffusion, counter-current immunoelectrophoresis and passive hemagglutination titration technique. *J Med Ass Thailand* 1975;58(2):641-20.

# ระดับ Glycosylated hemoglobin และน้ำตาล ในเลือดผู้ป่วยเบาหวานในจังหวัดเชียงใหม่

กลักรัตน์ ชุติพงษ์วิภา\* ไพรินทร์ จำปัญญา\*

บทคัดย่อ ผู้วิจัยได้ศึกษาความสัมพันธ์ของระดับน้ำตาลในเลือด (FBS) กับระดับ Glycosylated hemoglobin (gHb) หลังอดอาหาร 8 ชั่วโมงของผู้ป่วยเบาหวานจำนวน 110 คน โดยจำแนกผู้ป่วยเบาหวานออกเป็น 3 กลุ่ม ตามระดับน้ำตาลในเลือดคือกลุ่มที่หนึ่งสามารถควบคุมระดับน้ำตาลในเลือดได้ดี (Excellent Control DM) อยู่ระหว่าง 80 - 120 mg/dl, กลุ่มที่สองควบคุมระดับน้ำตาลในเลือดได้ปานกลาง (Chemical Diabetic) ระหว่าง 121-140 mg/dl, กลุ่มที่สามควบคุมควบคุมระดับน้ำตาลในเลือดได้ไม่ดี (Overt Diabetic) ต้องมากกว่า 140 mg/dl ผลการวิจัยพบว่าผู้ป่วยเบาหวาน ที่ไม่สามารถควบคุมระดับน้ำตาลให้อยู่ในระดับปกติ ต้อง กลุ่มที่สอง และสามจะมีค่า gHb สูงกว่าปกติ ต้องมากกว่า 7.5% อย่างมีนัยสำคัญทางสถิติ ( $P<0.01$ ) โดยเฉพาะอย่างยิ่งพบว่า ผู้ป่วยเบาหวานในกลุ่มที่สาม มีค่า gHb สูงกว่ากลุ่มอื่นๆ ด้วย โดยมีค่าสัมประสิทธิ์ความสัมพันธ์ระหว่าง FBS กับ gHb เท่ากับ 0.46 ( $P<0.01$ ) ผู้ป่วยกลุ่มที่สอง และกลุ่มที่หนึ่ง พบร่วมค่าความสัมพันธ์ระหว่าง FBS กับ gHb อยู่ในระดับต่ำคือ 0.24 และ 0.18 ตามลำดับ ( $P>0.05$ ) นอกจากนี้ยังพบว่าผู้ป่วย ในกลุ่มที่หนึ่งจะมีค่า gHb อยู่ในระดับปกติ ดังนั้น ห้องปฏิบัติการของคลินิกเบาหวานควรตรวจหา

Abstract : Glycosylated hemoglobin and fasting blood sugar level in diabetic mellitus of Chiang Mai province. Chutipongvivate S\* and Japunya P\*. Fasting blood sugar (FBS) and glycosylated hemoglobin (gHb) were measured in 110 fasting diabetics blood. The diabetics were divided into three groups according to the status of glycemia : 1) excellent control DM (80 - 120 mg/dl); 2) chemical diabetic (121 - 140 mg/dl); 3) overt diabetic (>140 mg/dl). The overt and chemical diabetic had a significant ( $p<0.01$ ) higher level of glycosylated hemoglobin than excellent control DM. Correlation coefficient between FBS and gHb in overt diabetic was higher ( $r = 0.46$ ,  $P < 0.01$ ) than chemical ( $r = 0.24$ ) and excellent control ( $r = 0.18$ ) DM ( $P > 0.05$ ). In addition, gHb level in excellent control DM was normal. This indicates that determinations of FBS and gHb are useful in monitoring of diabetic. Bull Chiang Mai AMS. 1991; 24(2): 81-86.

Keyword : Glycosylated hemoglobin Blood sugar, Diabetic mellitus

\* ฝ่ายพยาธิวิทยาคลินิก ศูนย์วิทยศาสตร์การแพทย์ 5 เชียงใหม่

\* Clinical Pathology Section. Regional Medical Science Center 5, Chiang Mai Province.

## วารสารเทคนิคการแพทย์เชียงใหม่

ระดับ FBS ความคุ้มไปกับ gHb เพื่อให้การติดตามการควบคุมระดับน้ำตาลในผู้ป่วยเบาหวาน ทำได้อย่างมีประสิทธิภาพ

คำรหัส : ไอลโคซิเลทเก็ต อิโนโกลบิน, น้ำตาลในเลือด, โรคเบาหวาน

การตรวจระดับกลูโคสเปรี้ยงไฟฟ์ในการวินิจฉัยติดตาม และประเมินผลว่าผู้ป่วยสามารถควบคุมภาวะเบาหวานได้หรือไม่ เนื่องจากระดับน้ำตาลในเลือด มีความสำคัญในการรักษาภาวะเบาหวานมาก เพราะการควบคุมระดับน้ำตาลในเลือดอยู่ในเกณฑ์ปกติจะช่วยชลอ หรือลดความรุนแรงของภาวะแทรกซ้อนบางอย่างได้ แม้ว่า การตรวจระดับกลูโคสในเลือดหลังอดอาหาร fasting blood sugar (FBS) จะมีความสำคัญมาก แต่ก็เป็นเพียงการบันทึกการติดตามการควบคุมเบาหวานอย่างคร่าวๆ เท่านั้น เพราะจะบ่งบอกปริมาณน้ำตาลกลูโคสในเลือดเฉพาะวันที่เจาะตรวจ และเปลี่ยนแปลงได้ตามปัจจัยต่างๆ ที่ผู้ป่วยได้รับ เช่น อาหาร ยา การออกกำลังกายและอื่นๆ การตรวจระดับ FBS เพียงอย่างเดียวจึงไม่เพียงพอห้องปฏิบัติการควร จะต้องอาศัยวิธีการอื่นๆ มาประกอบการตรวจวินิจฉัยทางห้องปฏิบัติการ เพื่อช่วยเป็นข้อบ่งชี้ในการควบคุมภาวะเบาหวานระยะยาว ในการวิจัยครั้งนี้ผู้วิจัยใช้การตรวจ FBS และการตรวจ glycosylated hemoglobin(1) ในการติดตามภาวะผู้ป่วยเบาหวาน (2,3) Glycosylated hemoglobin (gHb) เป็น hemoglobin ที่มี deoxy-glucose เกาะติดกับ N-terminal valine ของ B-chain มากกว่า HbA1(4) สามารถเปลี่ยนออกเป็น HbA1a,

HbA1b, HbA1c, HbA1d และ HbA1e ในคนปกติหากแยก HbA1 โดย electrophoresis จะพบว่ามีปริมาณ HbA1c มากที่สุด ถัดนั้นในทางคลินิกจะตรวจปริมาณ HbA1c อย่างเดียวหรือวัดทั้งกลุ่ม คือ วัด HbA1a, HbA1b และ HbA1c เข้าด้วยกันก็ได้ขึ้นกับวิธีการที่ใช้กระบวนการเกิด gHb เริ่มจากการที่กลูโคสจะจับกับ N-terminal valine หรือ cystine บน B-chain ของ Hb ในเม็ดเลือดแดง ทำให้เกิดการเปลี่ยนแปลงเป็น Schiff base และเกิด Amadori re-arrangement ให้เป็น gHb ซึ่งกระบวนการนี้จะเกิดมากน้อยขึ้นอยู่กับ ความเข้มข้นของกลูโคสในเลือด กระบวนการนี้เป็นไปอย่างช้าๆ โดยไม่ใช้เอนไซม์ และเป็นปฏิกิริยาที่ไม่คืนกลับ ตลอดอายุขัยของเม็ดเลือดแดง เมื่อรับน้ำตาลในเลือดเปลี่ยนแปลง HbA1c ก็จะเปลี่ยนตามอย่างช้าๆ และเป็นที่ยอมรับกันว่าระดับ gHb จะใช้เป็นตัวชนิดบอกถึงระดับน้ำตาลในเลือด ย้อนหลังไปประมาณ 3-4 สัปดาห์ (5,6) และเม็ดเลือดแดงแก่ตัวจะมี gHb มากกว่าเม็ดเลือดแดงตัวอ่อน (7,8)

ในการศึกษารั้งนี้ ผู้วิจัยต้องการ ศึกษาหารือการทางห้องปฏิบัติการ ที่สามารถช่วยแพทย์ให้สามารถควบคุมและติดตามระดับน้ำตาลในเลือดของผู้ป่วยเบาหวานได้อย่างมีประสิทธิภาพ จากการจำแนกประเภทต่างๆ ของเบาหวานตาม WHO technical report series No.727 ปี 1980 และปรับปรุงเพิ่มเติมปี 1985(9) ได้จัดแยกประเภทต่างๆ ของเบาหวานได้ ห้าโดยวิธี clinical classes และ statistical risked classes of developing diabetes ได้ดังนี้

1. ผู้ป่วยที่มีอาการ hyperglycemia ชัดเจน ได้แก่ ปัสสาวะมาก กระหายน้ำ ดื่มน้ำมาก

อ่อนแพลีย กินໄได ผอมลง ชาปลายมือปลายเท้า ตา มัว และมีผลการตรวจน้ำตาลเพียงครั้งเดียวเกิน 200 mg/dl ให้วินิจฉัยว่าเป็นเบาหวาน

2. ในผู้ป่วยที่มีประวัติต่อการไม่ดื้ัดเจน หรือไม่มีอาการเลย แต้มค่า FBS มากกว่า 120 mg/dl ทุกครั้ง หรือมากกว่า 140 mg/dl จาก การตรวจ 2 ครั้งต่างวันกัน จัดเป็นเบาหวาน(3) ในการศึกษาครั้งนี้ผู้วิจัยได้ใช้การตรวจปริมาณน้ำตาลในเลือดโดยวิธี O-toluidine จำแนกผู้ป่วย เป็นเบาหวานออกเป็น 3 กลุ่ม คือ กลุ่มที่ 1 เป็นผู้ป่วยเบาหวานที่ควบคุมน้ำตาลได้ดีมาก (Excellent) จะมีค่าน้ำตาลในเลือดอยู่ในช่วงปกติ คือ 80-120 mg/dl กลุ่มที่ 2 เป็นผู้ป่วยเบาหวานที่ควบคุมน้ำตาลได้ปานกลาง (Fair) คือ อยู่ระหว่าง 121-140 mg/dl จัดเป็น chemical diabetes และกลุ่มที่ 3 เป็นผู้ป่วยเบาหวานที่ควบคุมน้ำตาลในเลือดไม่ได้ (Poor) จะมีระดับน้ำตาลในเลือดมากกว่า 140 mg/dl จัดเป็น overt diabetes

#### วัสดุและวิธีการ

สิ่งสังเคราะห์ เลือดจากผู้ป่วยที่อดอาหารมา 8 ชั่วโมง ในคลินิกเบาหวาน โรงพยาบาลในจังหวัดเชียงใหม่ จำนวน 110 ราย โดยไม่แยกเพศ และอายุ เจาะเลือดจำนวน 3 ml. ใส่ขวดทึบบรรจุ sodium fluoride อยู่ด้วย ปืนแยกพลาสม่า นำไปตรวจหา glukoicos และนำเม็ดเลือดแดงที่ได้ไปตรวจหา gHb

การตรวจหาระดับ glycosylated hemoglobin (HbA1c) ใช้วิธี Cation exchange chromatography(6) (GLYCO Hb QUIK COLUMN of Helena Laboratories) นำมาวัดสีที่ความยาวคลื่นแสง 415 nm น้ำค่า

absorbance (A) ที่ได้มาคำนวนหาค่า % gHb จาก gHb (%) =  $A \text{ gHb} \times 100 / \text{A total Hb}$  ค่าปกติของ gHb โดยวิธีนี้ เท่ากับ 5.0 - 7.5 % (13)

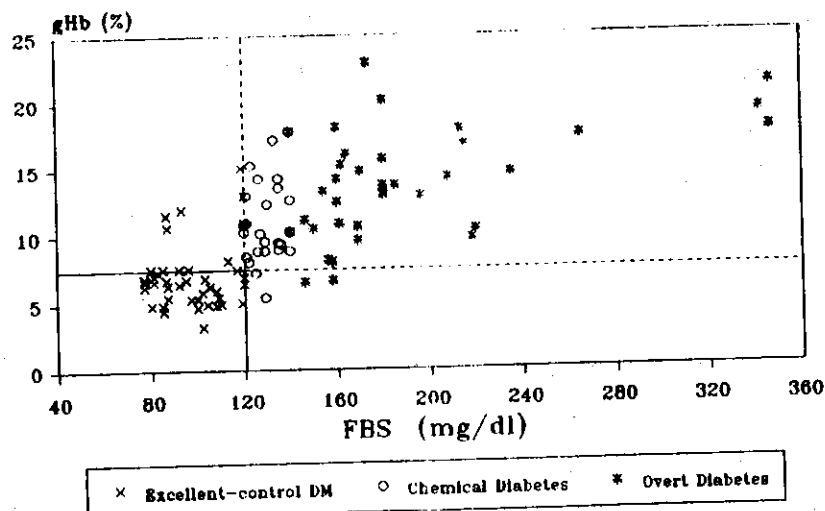
การตรวจหา fasting blood sugar ใช้วิธี O-toluidine(2) ค่าปกติของกลูโคส โดยวิธีนี้เท่ากับ 80-120 mg/dl

#### ผลการทดลอง

พบว่าในผู้ป่วยเบาหวานจากคลินิกเบาหวานจำนวน 110 ราย (ตารางที่ 1 และ รูปที่ 1) มีผู้ป่วยเบาหวานกลุ่มที่ 1 สามารถควบคุมน้ำตาลได้ดีจำนวน 44 ราย มีค่าน้ำตาลในเลือด 80 - 120 mg/dl และมีค่า gHb ในเกณฑ์ปกติ (4.5 - 7.5%) จำนวน 40 ราย และมีผู้ป่วยจำนวน 4 ราย ที่มี gHb มากกว่า 7.5% ในผู้ป่วยเบาหวานกลุ่มที่ 2 ซึ่งควบคุมน้ำตาลได้พอใช้จัดเป็น chemical diabetic จำนวน 26 ราย มีน้ำตาลในเลือด 121 - 140 mg/dl มีค่า gHb มากกว่า 7.5% จำนวน 25 ราย และในผู้ป่วยเบาหวานกลุ่มที่ 3 ซึ่งควบคุมน้ำตาลในเลือดไม่ได้คือ มีค่าน้ำตาลในเลือดมากกว่า 140 mg/dl จำนวน 40 ราย มีค่า gHb มากกว่า 7.5% จำนวน 37 ราย สัมประสิทธิ์ความสัมพันธ์ (correlation coefficient, r) ระหว่าง FBS และ gHb ในกลุ่มที่ 1, 2 และ 3 มีค่าเพิ่มขึ้นตามลำดับ คือ 0.18 ( $Y = 0.030x + 3.9$ ), 0.24 ( $Y = 0.116x - 3.8$ ) และ 0.46 ( $Y = 0.038x + 6.5$ ) ตามลำดับ

## วารสารเทคนิคการแพทย์เชียงใหม่

Fig. 1 FBS and gHb  
combination method for detection of DM



ตารางที่ 1 เปรียบเทียบระดับน้ำตาลในกลุ่มต่างๆ กับค่า gHb

FBS (mg/dl)	N	gHb (4.5-7.5 %)	gHb (> 7.5 %)
80-120	44	40	4
121-140	26	1	25
> 141	40	3	37
Total	110	44	66

## บทวิจารณ์

ในการศึกษาครั้งนี้ผู้ป่วยเบาหวานกลุ่มที่ 1 ซึ่งควบคุมน้ำตาลได้ดี มีค่า FBS อยู่ระหว่าง 80 -120 mg/dl 44 ราย แต่มีค่า gHb อยู่ในเกณฑ์ปกติ คือ น้อยกว่า 7.5% เพียง 40 ราย เท่านั้น แสดงว่าผู้ป่วย 40 รายนี้ควบคุมภาวะเบาหวานของตนได้เป็นอย่างดี ปฏิบัติตามคำแนะนำของแพทย์อย่างเคร่งครัด ในขณะที่ผู้ป่วยอีก 4 รายไม่สามารถควบคุมภาวะเบาหวานได้โดยตลอด จึงยังคงมีค่า gHb สูงกว่าปกติ อาจเป็นเนื่องจากผู้ป่วยควบคุมอาหารก่อนมารับประเพณียัง 1-7 วัน โดยก่อนหน้านี้ไม่ได้ควบคุมเลขหรือได้รับอินซูลินหรือยาลดน้ำตาลในเลือดก่อน มารับประเพณี และในผู้ป่วยที่มี FBS มากกว่าปกติ คือ มากกว่า 120 mg/dl ทั้งในกลุ่มที่ 2 และ 3 จำนวน 66 ราย พนว่ามีค่า gHb สูงกว่า 7.5% จำนวน 62 ราย แสดงว่าใน 3-4 สัปดาห์ก่อนมารับประเพณี ผู้ป่วยเบาหวานไม่สามารถควบคุมระดับน้ำตาลในเลือดให้อยู่ในระดับปกติได้ ตั้งนั้นผู้ป่วยทั้ง 2 กลุ่มนี้จึงควรจะได้รับคำแนะนำ และการอาชีวสืบเป็นพิเศษจากแพทย์ นอกจากนี้ พบร่วมกับผู้ป่วยในกลุ่มที่ 2 และ 3 จำนวน 4 ราย มีค่า gHb ปกตินั้น แสดงว่าก่อนมารับประเพณี 3-4 สัปดาห์ ผู้ป่วยสามารถควบคุมอาหารได้ดี แต่ในวันที่พบรับประเพณีไม่สามารถควบคุมระดับน้ำตาลได้จึงทำให้ค่า FBS สูงขึ้น เนื่องจากการเปลี่ยนแปลงระดับ gHb จะเปลี่ยนแปลงขึ้น หรือ ลดลงอย่างช้าๆ แสดงว่าการควบคุมระดับน้ำตาลของผู้ป่วยยังไม่สม่ำเสมอต่อเพรเวกากิจ gHb นั้นจึงกับความเข้มข้นของกลูโคสในเม็ดเลือดแดง และยังสะท้อนถึงความเข้มข้นโดยเฉลี่ยของกลูโคสในเม็ดเลือดแดงในช่วง 3-4 สัปดาห์ที่ผ่านมาด้วย(5) ซึ่งจะเห็นได้ว่า ใน

การติดตามผู้ป่วยเบาหวาน ถ้าแพทย์ใช้ระดับ FBS เพียงอย่างเดียวในการติดตามการรักษา ก็จะไม่ทราบเลยว่าการควบคุมน้ำตาลของผู้ป่วยเบาหวานในกลุ่มที่ 2 และ 3 ยังไม่สม่ำเสมอ อนึ่งในการศึกษาครั้งนี้ ผู้วิจัยใช้ลิอคอฟผู้ป่วยในวันที่ผู้ป่วยมาคลินิกเบาหวาน ในการตรวจระดับน้ำตาลในเลือด และ gHb จะทำให้ทราบระดับน้ำตาลในเลือดทั้งในวันที่มาคลินิกเบาหวาน และทราบค่าความเข้มข้นของน้ำตาลในเลือดโดยเฉลี่ยเมื่อ 3-4 สัปดาห์ ก่อนมาพบแพทย์จากค่า gHb พบร่วมค่าสัมประสิทธิ์ความสัมพันธ์ของระดับน้ำตาลในเลือด และ gHb ในสูงมากนัก ทั้งในกลุ่มที่ 1, 2 และ 3 คือ 0.18 , 0.26 และ 0.46 ตามลำดับ จากการศึกษาของ Dr.Oimomi พบร่วมค่าสัมประสิทธิ์ความสัมพันธ์ของ gHb กับ FBS ใน สัปดาห์ที่ 3-4, 2 และวันที่ผู้ป่วยมาคลินิกเบา- หวานท่ากับ 0.76, 0.51 และ 0.26 ตามลำดับ(9) ถึงกระนั้นก็ตาม ในผู้ป่วยกลุ่มที่ 3 ก็ยังมีค่าสัมประสิทธิ์ความสัมพันธ์สูงถึง 0.46 ทั้งเป็นค่าสัมประสิทธิ์ความสัมพันธ์ในวันที่มาพบแพทย์นั้น แสดงให้เห็นว่า ผู้ป่วยเบาหวานที่มี FBS มากกว่า 140 mg/dl มักจะควบคุมน้ำตาลไม่ได้โดยตลอด หรืออาจจะอยู่ในระยะที่การควบคุมยังไม่ได้ผลก็ได้ ทำให้ค่า gHb มากกว่า 7.5% ตลอดเวลา นอกจากนี้ในผู้ป่วยเบาหวานที่ควบคุมน้ำตาลได้ไม่ดี จะทำให้ค่า gHb สูงเป็น 2-3 เท่าของค่าปกติได้(5) จะเห็นว่าประมาณ gHb จึงเป็นครรชน์ที่ใช้ในการควบคุม และติดตามระดับความเข้มข้นของน้ำตาลในเลือดของผู้ป่วยเบาหวานได้ดีอย่างหนึ่ง คลินิกเบาหวานจึงควรพิจารณาให้มีการตรวจ gHb และระดับน้ำตาลในเลือด (FBS) ควบคู่กันไป เพราะ จะทำให้แพทย์ทราบระดับน้ำ

# วารสารเทคนิคการแพทย์เชียงใหม่

ตกลงในเลือด ของผู้ป่วยเบาหวานจากค่า FBS ในวันที่มาพบ 医師 และใน 3-4 สัปดาห์ก่อนมาพบ 医師 จากค่า gHb เพื่อใช้ในการประกอบการติดตามผลการรักษาเบาหวาน ให้เป็นไปอย่างมีประสิทธิภาพยิ่งขึ้น

## กติการวมประการ

ผู้วิจัยขอขอบคุณโรงพยาบาลนครพิงค์, โรงพยาบาลศศิบาลนครเชียงใหม่ ที่ให้ความร่วมมือในการเก็บตัวอย่าง, คุณอรรถพงศ์ ฉัตรวิยะกุล ที่ให้ความช่วยเหลือในการจัดพิมพ์ และวิเคราะห์ข้อมูล และขอขอบคุณ ผู้อำนวยการศูนย์วิทยาศาสตร์การแพทย์ 5 เชียงใหม่ ที่ให้การสนับสนุน การวิจัยครั้งนี้

## เอกสารอ้างอิง

- กอบชัย พัรวิไล. ตำราการรักษาโรคต่อ仗 ไวรต่อในผู้ใหญ่ด้วยยา. กรุงเทพเวชสาร, 2530: 45-9.
- รุกุล วีระานุวงศ์, กนกนาถ ชูปัญญา. เคมีคลินิก. กรุงเทพเวชสาร, 2525: 194-8
- วรรณี นิธิyanan, อภิชาติ วิชาญานรัตน์ สาธิต วรรณาแสง. Diabetes in Practice. มหาวิทยาลัยเชียงใหม่ จำกัด 2531: 1-7, 24-37.
- จิตร จิรรัตน์สติ, มุนี แก้วปัลส์. วิชาระบบเอ็นไดคริน. พิพยเนตรการพิมพ์, 2530: 716, 727.
- Trivelli LA, Ranney HN, and Lai HT. Hemoglobin Component in Patients with Diabetes. New Eng J Med 1971; 284: 253-357.
- Walinder O, Wibell L and Bostrom H. The clinical value of HbA1 determination. Acta Med Scand Supp. 1980; 639:17.
- Ellul DA. Glycosylated Hemoglobin : A literature review. Am J Med Tech 1980;46:657-661.
- Gonen B, Rubinsten AH, Rochman H, Tenega SP and Horwitz DL. Hemoglobin A1 : An indicator of the metabolic control of diabetic patients. Lancet 1977 ; 2 : 734-736.
- Oimomi M. Problem in the clinical application and measurement of glycosylated hemoglobin. In. Glycosylated hemoglobin. Vensonic Seminar'82, KobTokyo, 1982; 27-30

# เปรียบเทียบการตรวจอุจจาระ 4 วิธี และการใช้เอทิลอาซีเตทแทนไดเอทิลออกไซเดอร์ในวิธีเข้มข้น

สุมร จันรสม\*, ศักดา เมืองคำ\*, เกตุรัตน์ สุขวัฒน\*\*

สถาบันวิจัยและพัฒนาสุขภาพชุมชน มหาวิทยาลัยเชียงใหม่

**บทคัดย่อ :** จากการศึกษาเปรียบเทียบวิธีที่ใช้ตรวจหาไข้พยาธิในอุจจาระ 4 วิธี คือ วิธีธรรมด้า วิธีค่าโടิ วิธีฟอร์มาลิน-อีทอร์ และวิธีฟอร์มาลิน-เอทิล อาซีเตท ตรวจอุจจาระทั้งหมด 103 ตัว อย่างพบว่าวิธีฟอร์มาลิน-อีทอร์ และฟอร์มาลิน-เอทิล อาซีเตท ให้ผลตีสุด ทั้ง 2 วิธีให้ผลบวกเท่ากัน คือ 80 ราย (77.7%) รองลงมาได้แก่ วิธีค่าโടิให้ผลบวก 65 ราย (63.1%) และวิธีที่ให้ผลบวกต่ำสุด ได้แก่ วิธีธรรมด้าซึ่งให้ผลบวกเพียง 29 ราย (28.1%) ส่วนใหญ่ไข้พยาธิที่พบคือ พยาธิใบไม้ในตับ และพยาธิปากขอ จากการศึกษานี้แสดงให้เห็นว่า วิธี ฟอร์มาลิน-เอทิล อาซีเตทสามารถนำมาใช้แทนวิธีฟอร์มาลิน-อีทอร์ ได้ และยังมีข้อดีกว่า คือ ไม่ต้องใช้สารอีทอร์ ซึ่งเป็นสารไวไฟ และยังอาจเป็นอันตรายต่อสุขภาพได้ จึงเหมาะสมที่จะนำมาใช้ในงานตรวจอุจจาระประจำวัน สำหรับวิธีค่าโടิ และวิธีธรรมด้า เมื่อเปรียบเทียบค่าความไวกับวิธีฟอร์มาลิน-อีทอร์แล้ว ได้ค่าความไว 81% และ 36% ตามลำดับ จะเห็นว่าวิธีค่าโടิให้ผลค่อนข้างดี ทำง่าย ให้ผลเร็ว และไม่ต้องใช้เครื่องปั่น จึงน่าจะเป็นวิธีที่เหมาะสมสำหรับงานตรวจภาคสนาม หรือห้องปฏิบัติการที่ไม่มีเครื่องปั่น ส่วนวิธีธรรมด้าซึ่งมีค่าความไวเพียง 36% น่าจะเลิกใช้ได้แล้ว

**คำรหัส :** วิธีตรวจอุจจาระ, ไข้หนอนพยาธิ

**Abstract :** Comparison of four technics for stool examination and a use of ethyl acetate for diethyl ether substitution. Chinorose S\*, Muengkum S\* and Sukhavat K.\*\* Four technics; simple smear, Kato's thick smear, Formalin-ether sedimentation and Formalin-ethyl acetate sedimentation were compared for parasite and/or egg detection in 103 stool samples. It was found that the formalin-ether and formalin ethyl acetate equally gave highest positivity rates (80 samples, 77.7%) whereas the Kato's thick smear yielded 65 positive samples (63.1%). The simple smear gave lowest positivity rate (29 samples, 28.1%). Most of the parasitic ova round were opisthorchis and hookworm. From this study, it is suggestive that the formalin-ethyl acetate could be used in place of formalin-ether, with additional advantage in that hazrdous and flammable ether is not used, and thus suitable for routine stool examination. Comparing of the formalin-ether or formalin-ethyl acetate technics, the Kato's method and simple smear yield respectively 81% and 36%

\* งานพยาธิวิทยาคลินิก โรงพยาบาลพะเยา

\*\*ภาควิชาปarasitology คณะแพทยศาสตร์

มหาวิทยาลัยเชียงใหม่

\* Phayao Hospital

\*\* Department of Parasitology, Faculty of

Medicine, Chiang Mai University.

ปัจจุบันโรคที่เกิดจากเชื้อปรสิตยังนับว่าเป็นปัญหาสาธารณสุขที่สำคัญของประเทศไทย อัตราติดเชื้อปรสิตในชุมชนตามท้องถิ่นต่างๆ จีโนยูกับสภาพแวดล้อมทางภูมิศาสตร์ เช่น อากาศ, ความชื้น, อุณหภูมิ สภาพทางธรณรูกิจและสังคม (1) ปรสิตส่วนใหญ่มักอาศัยอยู่ในลำไส้ การตรวจอุจจาระจึงเป็นสิ่งจำเป็นในการวินิจฉัย โรคปรสิตการศึกษาครั้นได้ทำการตรวจอุจจาระโดยวิธีต่างๆ ได้แก่ วิธีรرمดา, วิธีของค่าโトイ, และวิธีเข้มข้นแบบตะกอน 2 วิธี โดย 2 วิธี หลังนี้ได้ทำการเปรียบเทียบการใช้ Ethyl acetate แทน Diethyl ether ซึ่งผลการศึกษาดังกล่าว สามารถใช้เป็นแนวทางที่จะนำไปเลือกใช้ในห้องปฏิบัติการของโรงพยาบาลทั่วไปได้

## วัสดุและวิธีการ

ตัวอย่างอุจจาระได้เก็บจากประชาชนในเขตอำเภอเชียงม่วน จังหวัดพะเยา โดยไม่กำหนดเพศ และอายุจำนวน 103 ราย นำมาตรวจไข่ และ/หรือตัวอ่อนพยาธิ โดยอุจจาระหนังตัวอย่างจะนำมาตรวจ 4 วิธี คือ

1. วิธีรرمดา (Simple smear technic) ใช้อุจจาระเพียงเล็กน้อย ผสมกับน้ำเกลือปอกต 1 - 2 หยดบนแผ่นสไลด์ ปิดด้วยกระดาษบางเล็กขนาด  $22 \times 22$  มม. ตรวจดูด้วยกล้องจุลทรรศน์

2. วิธีของค่าโトイ (Kato's thick smear technic)(2) ใช้อุจจาระปริมาณ 60-70 มก. (ขนาดปริมาณเท่าเม็ดถั่วแดง) แบะบนกระดาษสไลด์ และปิดทับด้วยแผ่นซูลฟิล์มที่มีแล้วด้วย Cellophane staining solution (glycerine 100 ml, 3% aqueous malachite green 1 ml, distilled water 100 ml) แทนกระดาษบางเล็ก

sensitivity rates. In addition, the Kato's method is relatively simple and does not centrifuge. Accordingly, the Kato's method should be used in field study and finally the simple smear is not suitable for stool examination. Bull Chiang Mai AMS 1991; 24(2): 87-90.

**Keyword :** stool examination technic, parasitic ova

และกดครองก่อนอุจจาระให้แน่นราบลง ตั้งทิ้งไว้ประมาณครึ่งชั่วโมง แล้วนำมาตรวจด้วยกล้องจุลทรรศน์

3. วิธีเข้มข้นโดยใช้ฟอร์มอลิน-อิเทอร์ (2) (Formalin ether sedimentation technic) ใช้อุจจาระประมาณ 1 กรัมผสมกับน้ำ 10-20 มล. แล้วกรองผ่านผ้ากันซึ่งหลอดปั๊บ

นำไปบีบหักความเร็ว 1,500 - 2,000 รอบ/นาที นานประมาณ 1 - 2 นาที เทhn้าส่วนบนทึ่งเติมน้ำ ผสมตะกอนใหม่ ทำซ้ำ 2-3 ครั้ง จนน้ำส่วนบนใส ผสม 10% ฟอร์มอลิน 10 มล. ตั้งทิ้งไว้อย่างน้อย 5 นาที เติมอิเทอร์ลงไป 2-3 มล. ปิดปากหลอดด้วย橡膠 แล้วนำไปบีบหักหักความเร็ว 1,500-2,000 รอบ/นาที ส่วนผสมจะแยกเป็น 4 ชั้น คือ ชั้นอิเทอร์ ชั้นของฟอร์มอลิน และชั้นตะกอน นำอาชันตะกอนไปปะบานสไลด์ ปิดด้วยกระดาษบางและตรวจดูด้วยกล้องจุลทรรศน์

4. วิธีเข้มข้นโดยใช้ฟอร์มอลิน-เอทิล เทท (Formalin-ethyl acetate sedimentation technic) ทำเช่นเดียวกับวิธีที่ 3 โดยใช้ เอทิล

## อาศัยเดพแทนไคเออร์ส อีเกอร์

### ผลการทดสอบ

ผลการตรวจอุจจาระจำนวน 103 ตัวอย่าง โดยใช้วิธีธรรมชาติ พบปรสิต 29 ราย (28.1%) วิธีค่าโトイ พบ 65 ราย (63.1%) วิธีฟอร์มัลิน-อีเกอร์ พบ 80 ราย (77.7%) เท่ากับ พอร์มาลิน-เอกล อาศัยเดพ ไข่พยาธิที่พบส่วนใหญ่ ได้แก่

พยาธิใบไม้ในดับ (Opisthorchis ova) และพยาธิปากขอ (Hook worm ova) ปรสิตอื่นๆ ที่พบคือ สตรองจิลลาร์ด (Strongyloid larva) พยาธิตัวตืด (Taenia ova) และไพริโตกซ์ ได้แก่ Giardia lamblia แต่ตรวจไม่พบโดยวิธีค่าโトイ (ตารางที่ 1) เมื่อเปรียบเทียบความไว (sensitivity) ของวิธีธรรมชาติ, วิธีค่าโトイ และ วิธีฟอร์มัลิน-เอกล อาศัยเดพ กับวิธีฟอร์มาลิน-อีเกอร์ ได้ค่าความไว 36%, 81% และ 100% ตามลำดับ

ตารางที่ 1 แสดงการเปรียบเทียบอัตราการตรวจพบปรสิตโดยวิธีต่างๆ จาก 103 ตัวอย่าง

ชนิดของปรสิตที่พบ	Simple smear	Kato's Thick smear	Formalin Ether	Ethyl acetate
จำนวนราย (คน)	29	65	80	80
ที่พบปรสิต	(28.1)	(63.1)	(77.7)	(77.7)
ไข่พยาธิใบไม้ในดับ (opisthorchis ova)	26 (25.2)	61 (59.2)	75 (72.8)	75 (72.8)
ไข่พยาธิปากขอ (Hook worm ova)	2 (1.9)	5 (4.9)	8 (7.8)	11 (10.7)
Giardia lamblia cyst	2 (1.9)	-	2 (1.9)	1 (1.0)
Taenia ova	-	1 (1.0)	-	-
จำนวนตัวอย่าง ที่พบปรสิตมากกว่า 1 ชนิด	2 (1.9)	4 (3.9)	8 (7.8)	10 (9.7)

## วิจารณ์

การตรวจอุจจาระโดยวิธีรวมคิดพยาธิได้น้อยกว่าวิธีอื่น คือพบเพียงร้อยละ 28.1 จึงเป็นวิธีที่อาจจะตรวจไม่พบในผู้ป่วยที่มีการติดเชื้อร้ายดับค่า (light infection) ส่วนวิธี ของคาดพอนมากขึ้น เป็นร้อยละ 63.1 อาจเนื่องจากใช้ปริมาณของอุจจาระมากกว่า วิธีนี้ทำได้ง่ายและประหยัดกว่า การตรวจโดยวิธีเข้มข้น จึงสามารถจะนำไปใช้งานสำหรับหาหนอนพยาธิในแข็งพื้นที่นอกห้องปฏิบัติการ หรือในหน่วยงานที่ยังขาดอุปกรณ์ที่จำเป็นสำหรับการตรวจโดยวิธีเข้มข้น เช่นปืนหรือน้ำยา ถึงแม้ว่าวิธีนี้ ให้ผลการตรวจได้ค่อนข้างชัดเจน แต่ต้องเป็นผู้มีความชำนาญพอสมควร นับตั้งแต่การแยกอุจจาระให้บางพอเหมาะสม และการดูลักษณะของไข่ที่อาจจะเปลี่ยนแปลงรูปร่างไปบ้าง โดยเฉพาะไข่พยาธิที่มีเปลือกบาง เช่น พยาธิปากขอ(3) อีกประการหนึ่งไม่สามารถใช้ตรวจหาปรสิตชนิดโปรตซ์ได้ สำหรับวิธีฟอร์มาลิน-อีเทอร์ และฟอร์มาลิน เอทิล อาซีเตท(4,5) ตรวจพบปรสิตได้มากกว่าวิธีอื่น ๆ คือ สามารถตรวจพบ 77% และตรวจหาได้ทั้ง ชีสต์ของโปรตซ์ ไข่ และตัวอ่อนของหนอนพยาธิทุกชนิด อุจจาระที่มีส่วนประกอบของไข่มันอยู่มากก็สามารถตรวจหาปรสิตได้ด้วย ไข่ และตัวอ่อนไม่เปลี่ยนแปลงรูปร่าง การใช้อทิล อาซีเตท แทนอีเทอร์(6,7) นั้น ไม่ทำให้ผลการตรวจเปลี่ยนแปลงและข้อดีของการใช้อทิล อาซีเตท คือไม่เป็นสารไวไฟ และไม่เป็นอันตรายต่อสุขภาพของผู้ปฏิบัติงาน เมื่อ用อีเทอร์(6,7) แต่ในการทำต้องระมัดระวังในขั้นตอนสุดท้ายหลังจากเทอนเหลวส่วนบนทึบไป อาจจะเหลือส่วนที่เป็นตะกอนผสมกับเอทิล-อาซีเตท ทำให้เกิดฟองของเอทิล อาซีเตท ที่จะไปบดบัง

ตะกอนอุจจาระในการตรวจตัวยกส่องจุลทรรศน์ จะเห็นได้ว่าการตรวจอุจจาระด้วยวิธีรวมคิดพยาธิ หรือตรวจไม่พบเชื้อได้ถึง 63.8% จึงควรจะเลิกใช้วิธีนี้ได้แล้วส่วนวิธีใดมี โอกาสตรวจไม่พบเชื้อ 18.8% แต่เนื่องจากวิธีนี้ทำได้ง่าย ไม่ต้องใช้เครื่องปั่นจึงเหมาะสมกับการตรวจภาคสนาม หรือห้องปฏิบัติการที่ไม่มีเครื่องปั่นก็น่าจะใช้วิธีนี้ สำหรับวิธีฟอร์มาลิน-เอทิล อาซีเตท น่าจะเป็นวิธีที่ดีที่สุด เพราะมีความไวสูงเท่าวิธีฟอร์มาลิน-อีเทอร์และยังดีกว่าต่างที่ไม่ใช้อีเทอร์ ซึ่งเป็นสารไวไฟและเป็นอันตรายต่อสุขภาพ

## เอกสารอ้างอิง

1. รังษัย ประภัสสรหาร 2526. ปราสาติ สารการแพทย์ ปีที่ ครั้งที่ 2 บัญชีดิจิทัลพิมพ์, กทม. หน้า 1-16.
2. นิมิต mgrด., เกตุรัตน์ สุวรรณ 2532. ปฏิบัติการวินิจฉัย โรคปรสิต ภาควิชาป拉斯ติกวิทยา คณะแพทยศาสตร์ มหาวิทยาลัยเชียงใหม่
3. อาnanท์ ประทัดสุนทรสาร, มุนุย ไพบูลย์ 2524 คู่มือ การตรวจอุจจาระเพื่อหาปรสิตและแบคทีเรีย สมาคมปรสิตวิทยาและอาชีวศาสตร์ เนตรอณแท่งประเทศไทย
4. Erdman DD. Comparison of Ethyl Acetate and Diethyl Ether in the Formalin-Ether sedimentation Technique. Clin Microbiol. 1981; 14 :483-8.
5. Yamaguchi T, Khamboonruang C, Inaba T. et al. Studies on intestinal parasitic infections in Chiang Mai Province, North Thailand.Jap J Parasit 1982; 31:447-59.
6. Young KH, Bullock SL, Melvin DM. and Spruill CL. Ethyl acetate as a substitute for diethyl ether in the formalin-ether sedimentation technique. J Clin Microbiol 1979;10:852-3.
7. Neimeister R, Logan AL, Gerber B, Eggleton JH, and Kleger B. Hemo-De as substitute for ethyl acetate in formalin-ether acetate concentration technique. J Clin Microbiol 1987;25:425-6.

# บทความวิชาการ : Cluster of Differentiation (CD) Antigen

## สิงค์ สงเคราะห์

CD เป็นคำที่ย่อมาจาก cluster of differentiation ปกติเมื่อเซลล์มีการ แบ่งตัวเรียกว่า proliferation จะได้เซลล์ที่มีลักษณะเหมือนเดิม แต่ มีจำนวนมากขึ้น แต่ถ้าเซลล์นั้นมี differentiation เกิดขึ้นเซลล์ที่ได้จะมีความแตกต่างไปจากเซลล์เดิม อาทิ เช่น มีหน้าที่เปลี่ยนไป ยกตัวอย่าง เช่น pre T-cell เมื่อมีการพัฒนา ต่อมาก็มีการ differentiation ทำให้ได้ T helper cells (CD4+) และ T suppressor cells (CD8+) ซึ่ง ทำหน้าที่แตกต่างกันไป

เซลล์ในร่างกายมีมากหลายชนิด แต่ละชนิดจะทำหน้าที่ของตนเอง ทั้งๆ ที่เซลล์เหล่านี้ส่วนมาจากการเซลล์ต้นกำเนิดเดียวกัน คือ zygote ภายหลังมีการ proliferation และ differentiation ทำให้ได้เซลล์หลากหลาย มีความสามารถต่อมาอีกว่าเซลล์ออกจากจะทำ หน้าที่แตกต่าง กันแล้วเซลล์เหล่านี้มีการทำงานประสานกันอย่าง ไร มีการส่งสัญญาณ และ การรับสัญญาณเพื่อกระตุ้นให้เซลล์ตัวรับเริ่มหรือหยุดการทำงานหน้าที่ของตัวเอง ได้อย่างไรเมื่อพิจารณาดูจะเห็นว่าเซลล์ติดต่อกันโดยภายนอกโดยผ่านผิวเซลล์นั้นเอง ดังนั้นบนผิวเซลล์หนึ่ง ๆ จะมีตัวรับสัญญาณ (receptor) มากมาย ซึ่งแน่นอนเซลล์ต่างชนิดยอมมี receptors ที่ ต่าง กัน (อาจจะมีบาง receptors ที่เหมือนกันได้) เมื่อได้รับสัญญาณมาแล้วเซลล์จะเริ่มทำงาน เช่นเริ่มผลิตสารบางอย่าง (อาทิเช่น IL-1, IL-2, เอนไซม์, choromine ฯลฯ) และปล่อยสารนั้นออกสู่

ภายนอกเซลล์เพื่อปฏิบัติงานโดยตรง เช่น เอนไซม์ย่อยอาหารหรือ ส่งไปให้กับ receptor บนเซลล์อื่นเพื่อเริ่มกระบวนการถัดไปก็ได้ นอกจาก receptors ต่าง ๆ แล้ว บนผิวเซลล์ยังอาจมี marker เพื่อให้เซลล์อื่นรู้ที่จะมาติดต่อได้ถูกต้องไม่ผิดพลาด เช่นอินซูลีนรู้ได้อย่าง นั้นคือเซลล์อื่นจะต้องมีโมเลกุลบนผิวเซลล์ของตัวเองที่จะจับกับ marker บนเซลล์ที่จะไปติดต่อ ดังนั้นถ้าสามารถทราบว่า เซลล์แต่ละชนิดมี receptors และ markers อะไร เซลล์เหล่านี้มีหน้าที่อย่างไร จะทำให้ทราบถึงกระบวนการ ขั้นตอน การทำงานของระบบนั้นๆ ได้ ด้วยเหตุนี้นักวิทยาศาสตร์จึงได้พยายามหา receptors และ markers เหล่านี้กันอยู่อย่างมาก แม้จะเปลี่ยนในเวลาแล้ว

การตรวจหา receptors หรือ markers เหล่านี้ทำได้อย่างไร นักวิทยาศาสตร์ ได้พยายามแยกเซลล์โดยอาศัย markers ที่ต่างกันมานานแล้ว ในยุคที่ยังไม่มีเทคโนโลยี ด้าน monoclonal antibody (mAb) ก็ได้แยก T cells ออกจาก B cell โดย T-cells จะเกิด rosette กับเม็ดเลือดแดง แกะ ในขณะที่ B cell เกิด rosette กับเม็ดเลือดแดง แตงแกะที่มีแอนติบอดีจับอยู่และ/หรือมีคอมพลีเม้นท์รวมอยู่ด้วย เมื่อมีการคั่นพับเทคโนโลยี mAb ประกอบกับ receptors และ markers ส่วนใหญ่ เป็นโปรตีนหรือ glycoprotein ซึ่งมีคุณสมบัติเป็น แอนติเจน จึงทำให้มีการผลิต mAb ต่อ receptors และ markers ต่างๆ จำนวนมาก

\*ภาควิชาภูมิคุ้มกันวิทยาคลินิก คณะเทคนิคการแพทย์ มหาวิทยาลัยเชียงใหม่

## สารสารวัตกรรมนิคการแพทย์เชิงใหม่

เพื่อช่วยในการตรวจสอบหาชนิดของ เซลล์ต่างๆ หน่วงงานหรือบริษัทหลายแห่งต่างก็ผลิต mAb ขึ้นมาและให้ชื่อแตกต่างกันไป เช่น OKT3 และ Leu4 จะเป็น mAb ที่จับกับ T cells ส่วน OKT4 และ Leu3 จะเป็น mAb ที่จับกับ T helper cells ดังนี้เป็นต้น จึงเกิดความสับสนใน การตั้งและ เรียกชื่อต่างๆ เหล่านี้ จึงได้มีการจัด ประชุมนานาชาติขึ้นเพื่อการตรวจสอบและกำหนด ชื่อ mAb ที่จับกับ receptors หรือ markers เหล่านี้ ที่ประชุมได้กำหนดคำเรียกของ receptors และ markers บนผิวเซลล์ เป็นคำใหม่ว่า cluster of differentiation หรือมีคำย่อว่า CD ดังนั้นคำว่า CD antigen จึงหมายถึงแอนติเจนบนผิว เซลล์ ซึ่งอาจจะเป็น receptors หรือ markers ของ เซลล์นั้นก็ได้ จากการประชุม นานาชาติรวม 4 ครั้ง ครั้งที่สุดสุดที่ Vienna ประเทศออสเตรีย ระหว่างวันที่ 21-25 กุมภาพันธ์ 2532 ทำให้ได้ CD ทั้งหมด 78 ชนิดด้วยกัน โดยแบ่ง CD ออก เป็น 6 กลุ่มคือ CD ที่เกี่ยวข้องกับ T cell-associated, B cell-associated, Myeloid cell-associated, Activation-associated, Nonlineage/NK cell-associated และ Platelet-associated ตามตารางที่ 1

ในการประชุมครั้งที่ 4 นี้ได้มีรายงานความ ศึกษาถึงการศึกษาเรื่อง CD ทั้งที่พบ CD ใหม่ๆ และการศึกษาในรายละเอียดของ CD ที่ เคยพบมาแล้ว ยืนยันของ CD มากถึงครึ่งหนึ่งถูกแยก และนำไปใช้ expression vectors เรียบร้อยแล้ว ทำให้สามารถที่จะนำเอา CD antigen ที่ได้จาก vectors ไปทำการศึกษาต่อ อารทีเข็น การหา โครงสร้างและหาสารที่จะมาทำปฏิกิริยากับ CD เหล่านี้ และทำการศึกษาผลที่เกิดขึ้นภายหลังที่มี การกระตุ้น CD เหล่านี้ต่อไป

นอกจากลำดับ DNA base ของ CD แล้ว นักวิทยาศาสตร์ยังได้หาตำแหน่งของยีนที่ควบคุม CD เหล่านี้ว่าอยู่ที่ใดบนโครโมโซม ซึ่งทางໄต้แล้ว ไม่น้อยกว่า 30 CD และพบว่า บางตำแหน่งเป็นที่อยู่ของยีนที่ควบคุม CD มากกว่าหนึ่งชนิด ดังนั้น จึงเป็นไปได้ที่จะมีกลุ่มของยีนเพื่อควบคุม CD หลายตัว นอกจากนี้ยังพบว่าบางตำแหน่งของยีนที่ควบคุม CD อยู่ใกล้กับยีนที่เกี่ยวข้องกับการ เกิดมะเร็ง เช่น ยีนที่ควบคุม CD20 เป็นต้น

CD antigen ไม่ต่ำกว่า 5 ชนิด เป็นแอนไซม์ที่อยู่บนผิวของเซลล์ เช่น CD10 เป็น endopeptidase, CD13 เป็น aminopeptidase N, CD26 เป็น dipeptidyl-peptidase IV, CD45 เป็น membrane-associated protein tyrosine phosphatase และ CD43 เป็น ecto-5'-nucleotidase ซึ่งเป็นตัวที่ นำสังเกตว่า markers เหล่านี้อาจจะเป็นตัวที่ถ่าย markers อื่น, ทำลาย chemotactic factor หรือ peptides อื่นที่เข้ามาส่งสัญญาณ หรืออาจจะเป็นตัว ทำให้ เซลล์ที่มาสัมผัสถกันเพื่อกำหนดที่ติดหน้าที่ หนึ่ง ซึ่งมีหงุดหน้าที่แล้วจะถูกเอนไซม์ตัดไม่เลกุล ที่มาเข้มต่อ กันนั้น เพื่อทำให้เซลล์แยกออกจากกัน นอกจากนี้ยังพบว่า CD4 และ CD8 จะพบควบคู่กับเอนไซม์ lymphocyte protein tyrosine kinase การคันพดดึงกล่าว ทำให้ความเกี่ยวข้อง กันระหว่างระบบภูมิคุ้มกัน และระบบเอนไซม์มี ความสำคัญมากยิ่งนัก เพื่อให้เข้าใจถึงกลไกการควบคุมและการดำเนินไปของ การตอบสนองของระบบภูมิคุ้มกัน

พบว่า CD antigen ไม่ต่ำกว่า 20 ชนิด เมื่อทำการ cross-linked ด้วย mAb และสามารถกระตุ้นให้ lymphocyte เกิดการเปลี่ยนแปลงได้ เช่น CD1, CD2, CD3, CD4, CD5, CD23, CD26,

CD27, CD28, CD38, CD43, CD44, CD45, CD54, CD59, CD69, CD73 สำหรับ T lymphocytes และ CD20, CD21, CD22, CD23, CD40, CD43, CD72, CD73 สำหรับ B lymphocytes

นักวิทยาศาสตร์ได้พยายามที่จะนำการทำงานของกระบวนการกระตุ้น CD ต่างๆ มาประมวล เข้าด้วยกันโดยเสนอว่ากระบวนการตอบสนองของระบบภูมิคุ้มกันเริ่มต้นเมื่อ lymphocyte ถูกกระตุ้น โดยผ่าน antigen receptor จากนั้นจะมีการกระตุ้น CD2 ซึ่งจะทำให้เกิดการสร้าง antigen receptor มากขึ้นเพื่อรับสัญญาณจากแอนติเจนได้มากขึ้น ต่อมาจะมีการกระตุ้น CD5 เพื่อให้มีการสร้างสารในการที่จะส่งไปท่อ และถ้ามีการกระตุ้น CD28 จะทำให้มียังยั่งการทำงานทำลาย mRNA สำหรับสร้าง interleukin-2 (IL-2) ซึ่งจะทำให้การแบ่งตัวเป็นไปได้ ในทางตรงกันข้ามถ้ามีการกระตุ้น CD19 จะทำให้ B cells แบ่งตัวขึ้น

การศึกษาขั้นตอนการทำงานและการประสานการทำงานระหว่างเซลล์ต่างๆ โดยผ่าน CD markers ผลที่ได้จากการกระตุ้น CD ต่างๆ ได้ถูกศึกษาอย่างละเอียดในเวลานี้ และคงจะมีความศึกษาในด้านนี้เป็นอย่างมากในการประชุมครั้งต่อไป

ในการประชุมครั้งนี้ยังได้มีการรายงานถึงโครงการสร้างหล่ายรูปแบบของ CD หนึ่งๆ เช่น CD45 อาจจะมีส่วนที่ฝังอยู่ในผิวเซลล์แบบเดียวกันในขณะที่ส่วนที่อยู่นอกผิวเซลล์ แตกต่างกัน ทำให้ได้เป็น CD45RA, CD45RB หรือ CD45RO หรือในกรณีที่ CD56 มีส่วนที่จะฝังอยู่ในผิวของเซลล์ได้มากกว่า 1 ส่วน ซึ่งอาจจะมีความสัมพันธ์ กับการติดต่อระหว่างเซลล์โดยเป็นตัวบีดเซลล์

เข้าด้วยกัน CD59 และ CD73 ซึ่งเป็น PI-linked molecules เมื่อทำปฏิกิริยา กับ mAb และสามารถกระตุ้นเซลล์นั้นๆ ได้ โดย CD นั้นจะเข้าไปในเซลล์เพื่อส่งสัญญาณต่อไป

ในการประชุมครั้งนี้ได้แบ่งออกเป็นหลาย workshop ได้แก่ T Cell Workshop, B Cell Workshop, Myeloid Workshop, Activation Workshop, NK Cell and Non-Lineage Workshop และ Platelet-Associated Antigen Workshop ดังมีเนื้อหาสาระโดยสรุปของแต่ละ workshop ดังนี้

### T Cell Workshop

ได้ตรวจสอบ mAb ต่อ T cells ถึง 200 ตัว อย่าง เมื่อได้ทำการตรวจสอบเบรียบเทียบกับ mAb ที่ได้จากการประชุมครั้งก่อนๆ พบร่วมนิคใหม่ เพียง 45 ตัวอย่าง และพบ CD antigen ใหม่ เพียง 1 ชนิด คือ CDw60

อย่างไรก็ตามได้มีการรายงานความคืบหน้าเกี่ยวกับ T-cell markers คือ รายงาน CD1 gene family ซึ่งมี Yin ที่ควบคุมอยู่ 5 ยินด้วยกัน จากการศึกษา 3 ยินใน หนู คือ CD1a,b และ c พบร่วมเป็นส่วนที่จำเพาะ (conserve) เมื่อเปรียบเทียบกับ class I Ag ซึ่งจะจำเพาะต่อสายพันธุ์หนึ่งๆ และ CD1c พบร่วมใน T-lineage cells และ neonatal B cells มีการสนับสนุนที่แสดงว่า CD2 มีส่วนคล้ายคลึงกับ CD45R หลายรายงานได้ให้ความสนใจเกี่ยวกับ marker ของ gamma/delta+ CD3+ T cell ในคนปกติ และผู้ป่วยด้วยโรคหล่ายชนิด พบร่วม T-cell subset นี้ 50% จะเป็น CD28+ และ 50% จะเป็น CD11b+

## วารสารเทคโนโลยีการแพทย์เชียงใหม่

มีการรายงานพบ PTKase ร่วมกับ CD4 และ CD8 ซึ่ง PTKase นี้สามารถที่จะ phosphorylate delta และ epsilon chains ของ T cell receptor (TCR) พบว่า CD4 และ CD8 cells เมื่อสัมผัสกับ specific HLA antigen จะถูก phosphorylated และถูกนำเข้าสู่ภายในเซลล์อย่างรวดเร็ว

### B Cell Workshop

จากการตรวจสอบ mAb ที่ส่งมาตรวจสอบพบ mAb ใหม่ 33 ชนิด และพบ CD ใหม่ 9 ชนิด นอกจากนั้นยังพบ mAb อีก 36 ชนิดซึ่งทำปฏิกิริยากับ marker ใหม่ที่ยังไม่ได้ตั้งชื่อ mAb ต่อ CD ของ B cells ที่พบใหม่คือ CD72 และ CD73 สามารถกระตุ้นให้ B cells เกิดการแบ่งตัวได้ CD ใหม่อีก 3 ชนิดที่พบบน B cells คือ CD73, CDw75 และ CD76 ยังพบได้บน T cells บางกลุ่ม

CD20 มีรายงานความคืบหน้าของ CD20 ซึ่งเป็นโมเลกุลที่มี two cytoplasmic tail และ มีส่วนที่สามารถเกิด phosphorylation ได้ จึงสามารถใช้เป็น substrate ในการศึกษาความเกี่ยวข้องของ kinase กับ B cells ได้ และพบว่า เมื่อทำการ cross-linked CD20 จะทำให้เกิดการกระตุ้น kinase และเกิด phosphorylation ขึ้น นอกจากนั้นยังมีรายงานว่า CD20 มีความเกี่ยวข้องกับการควบคุมการทำงานของอิオン ของเซลล์ตัว

CD22 ได้มีรายงานการตรวจสอบยืนยันของ CD22 พบว่าเหมือนกับยินของ protein ที่ชื่อ cell adhesion molecule (CAM) ซึ่งเป็น myelin-associated glycoprotein ทำหน้าที่เกี่ยวกับการ

นำ B cells ไปติดกับเซลล์ชนิดอื่นซึ่งมีส่วนที่จะมาจับกับ CD22 นี้ และพบว่าถ้าให้ B-cells ทำปฏิกิริยากับ mAb ต่อ CD22 แล้วจะลดปริมาณ anti-Ig ในการที่จะกระตุ้น B-cells ลงได้อย่างมาก จึงเป็นข้อสนับสนุนว่า CD22 อาจจะเกี่ยวข้องกับการส่งสัญญาณเริ่มต้นเพื่อทำการกระตุ้น B cells

CD23 CD ตัวนี้สามารถจับกับ IgE ถูกกระตุ้นให้มีการสร้างโดย IL-4 และถูกปล่อยออกนอกเซลล์ จากการศึกษา recombinant CD23 พบว่าสามารถจับกับ IgE และยังมีการจับของ IgE กับ mast cells ได้ CD23 มีอยู่ 2 แบบ คือ "a" และ "b" แบบ "a" จะมี cytoplasmic tail ยาวกว่าแบบ "b" CD ตัวนี้พบบน B cells, monocytes, และ activated tonsillar T cells IL-4 สามารถกระตุ้นให้มีการสร้างทั้ง 2 แบบ ("a" และ "b") ใน B -cells แต่กระตุ้นให้มีการสร้างแบบ "b" เพิ่มขึ้นเท่านั้นใน monocytes

มีรายงานว่า CD23 และ CD39 จะเป็นตัวสำคัญในการติดต่อกันระหว่าง B cells และ T cells เนื่องจากพบว่า mAb ต่อทั้งสอง CD นี้สามารถยับยั้ง B cells จากการกระตุ้นของ antigen-specific T cells ได้

CD40 มีรายงานว่าเป็นตัวเดียวกับ nerve growth factor receptor การกระตุ้น B-cells ผ่าน CD40 นี้ต้องอาศัยกรดอะมิโน threonine ณ ตำแหน่ง 238 ใน cytoplasmic tail ยังพบว่า IL-6 จะทำหน้าที่คล้ายๆ กับ mAb ต่อ CD40 ได้ เช่นกัน จึงเป็นหลักฐานสนับสนุนว่า ligand ของ CD40 อาจจะเป็น IL-6

mAb ต่อ CD20, CD40 และ Bgp95 สามารถช่วยกระตุ้น B cells ให้เกิดการแบ่งตัว

ได้ศึกษามือ B cells ถูกกระตุ้นด้วย anti-Ig หรือ IL-4 แต่ mAb เหล่านี้ กลับขยับการสร้างแอนติบอดีต่อแอนติเจน

CD6 มีรายงานว่า CD6+ B cells ไม่สามารถกระตุ้นให้สร้าง IgG ซึ่งต่างจาก CD6- B cells จึงเป็นข้อสนับสนุนว่า CD6 เป็น marker ของ B cells ที่ยังไม่มีการพัฒนา

Blast-1 activation marker (ซึ่งจะอยู่บนผิวของ B cells, T cells และ monocytes ภายหลังที่ได้รับการกระตุ้น) มีความคล้ายคลึงกับ CD2 และ CD58 และมีข้อที่ควบคุมอยู่ที่ 1q21-22 ใกล้กับยีนที่ควบคุม CD1

มีรายงานการศึกษาของ B7 (BB-1) ซึ่งเป็น activation marker อีกตัวหนึ่ง พบร่วมเป็น type I membrane protein ส่วน B-LAM-1 เป็น type II membrane protein มี lectin เป็นส่วนประกอบ และมีบางส่วนของ immunoglobulin domain epidermal growth factor-link domain ซึ่ง B-LAM-1 เหมือนกับ E-LAM1 และ Mel-14

### Myeloid Workshop

พบ CD ใหม่ 5 ชนิด ซึ่งมี mAb ทั้งหมด 76 ชนิดที่สามารถทำปฏิกิริยากับ CD ใหม่ทั้ง 5 ชนิด พบ mAb อีก 17 ชนิดที่ทำปฏิกิริยากับ marker ที่ยังไม่ได้ตั้งชื่อ

CD68 พบน granulocytes และไม่พบบน monocytes CD64 เป็น Fc receptor (Fc RI) บนผิวของ macrophages จากการศึกษาของ CD64 พบว่าเป็น type I membrane protein มี 3 domain ที่เหมือนกับ Ig domain ส่วนของ 2 domain แรกมีความคล้ายกับ CD32 (Fc RII) และ CD16 (Fc RIII) มากกว่า domain ที่ 3

CD66 และ CD67 พบน granulocytes และจะมีปริมาณมากขึ้นเมื่อเซลล์ถูกกระตุ้น

CD14 พบว่าขึ้นที่ควบคุมอยู่ที่基因ที่ 5 และใกล้กับยีนที่ควบคุมการสร้าง cytokines และ cytokine receptors หลายชนิด CD14 จะเพิ่มปริมาณขึ้นเมื่อเซลล์ถูกกระตุ้นด้วย GM-CSF

CD15 มีรายงานว่าพบ CD15 ใน secondary granules ของ granulocytes และ monocytes

CD33 มีส่วนคล้ายกับ MAG (adhesion molecule ชนิดหนึ่ง) และ CD22 CD33 จะปรากฏในระยะเริ่มต้นของเซลล์ที่จะพัฒนาไปเป็นเซลล์เม็ดเลือดขาวต่างๆ จึงเชื่อว่า CD33 นี้จะทำหน้าที่เป็นตัวเรื่องกับเซลล์อื่น

CD34 เป็น marker ที่แสดงถึงระยะของเซลล์มากกว่าที่จะแสดงถึงลักษณะเฉพาะกลุ่มเซลล์ (lineage) เช่น จะพบ CD34 บนเซลล์ CD2-CD7+ ในไอกะรูก ซึ่งอาจจะเป็น precursors ของ thymocytes

มีรายงาน mAb ที่สามารถตรวจ CSF-1 receptor บน monocytes และ mAb ที่สามารถตรวจ IL-3 receptors ในครั้นด้วย

### Activation Workshop

ที่ประชุมครั้งนี้ได้ตรวจสอบ mAb 108 ชนิด ประกอบด้วย mAb ต่อ CD25 (เป็น low-affinity IL-2 receptor), CD70 (transferin receptor), CD69 (AIM, activation inducer molecule), CD70, Ea-1 (early activation antigen)

CD26 ซึ่งเคยเชื่อว่าเป็น marker สำหรับ memory T cells นั้นสามารถตรวจพบได้บนเนื้อ

## วารสารเทคนิคการแพทย์เชียงใหม่

เยื่อหุ้น lymphoid รวมทั้งตับด้วย มีรายงานค่าว่าว CD26 เมื่อนอกกับ dipeptidyl-peptidase IV (DPPIV)

CD30 เป็น activation marker อิกตัวหนึ่งพบบน lymphoblast CD30 พบได้ในชั้นของผู้ป่วย T-cell leukemia (ATL) ในคนปกติพบได้บ้างในบางครั้ง

CD69 เป็น activation marker ที่พบบน B และ T cells ภายใน 2-4 ชม. หลังจากการกระตุ้น เอนไซม์ที่รือ protein kinase C (PKC) เป็นตัวขึ้นนำให้มีการสร้าง CD69 ขบวนการขึ้นนำนี้ถูกยับยั้งโดย inhibitor ของ PKC จึงเรื่อว่า CD69 เป็น substrate ของ PKC mAb ต่อ CD69 จะช่วยในการกระตุ้น T cells ได้ CD69 พบได้บน medullary thymocytes แต่ไม่พบบน CD1+ 3-thymocytes

CD70 เป็น marker อิกตัวหนึ่งที่พบบน T lymphoblasts และ B lymphoblasts และจะพบควบคู่กับ CD30 ใช้เป็น marker สำหรับ Reed-Sternberg cells

### NK Cell และ Non-Lineage Workshop

ที่ประชุมคราวนี้ได้ทำการตรวจสอบ mAb 129 ชนิด และตรวจพบ CD ใหม่ 12 ชนิด

มีรายงานถึง CD ที่เป็น receptor สำหรับไวรัส ได้แก่ CD54 สำหรับ human rhinoviruses ผลการศึกษาทางค้านี้จะเป็นประโยชน์ในการควบคุมการติดเชื้อจากไวรัส

จากการตรวจสอบ mAb ทั้งหมดยังไม่สามารถพบ mAb ที่จะทำปฏิกิริยาเฉพาะกับ NK cells ได้มีรายงานการศึกษาถึง CD16 พบว่า cD16 จาก NK cells มีความแตกต่างจาก cDNA

ของ CD16 ใน granulocytes ซึ่งมีรหัสสำหรับการ kode ในเพิ่มขึ้น 21 ตัวอาจจะเป็นส่วน transmembrane และ intracytoplasmic เชื่อว่าการทำงานของ NK cells อาจจะได้รับสัญญาณผ่านทาง CD16

CD56 เป็น glycoprotein ที่สามารถทำปฏิกิริยากับ mAb ที่รือ anti-Leu19 และ NKH-1 มีโครงสร้างของไมเลกุลเมื่อนอกกับ neural cell adhesion molecule (N-CAM) จากการศึกษาในนกและหนูพบว่า N-CAM เป็น homotypic adhesion molecule มีความสำคัญในการพัฒนาสร้างของเซลล์ในระยะการพัฒนา การช่วงตัวอ่อน N-CAM polypeptides สามารถพบได้ 3 รูปแบบคือ 120kD, 140 kD และ 180 kD ซึ่งเป็นผลมาจากการ mRNA splicing ที่ต่างรูปแบบกัน 140 และ 180 kD เป็น integral membrane protein ในขณะที่ 120 kD เป็น PI-glycan anchored CD56 บนคิวของ NK cells และ cytotoxic T cells เป็นชนิด 140 kD และมีโครงสร้างต่างจาก 140 kD ของ N-CAM ที่พบบน neural cells หน้าที่ของ CD56 บน NK cells ยังไม่มีการศึกษา อาจจะเกี่ยวข้องกับ cell adhesion กับเซลล์อื่นที่ไม่ใช่ hematopoietic cells

### Platelet-Associated Antigens Workshop

ที่ประชุมได้ตรวจสอบ mAb 109 ชนิด และพบ CD ใหม่ 5 ชนิด CD ตัวหนึ่งที่ค้นพบใหม่เป็น glycoprotein complex ซึ่งแต่เดิมต้องรือว่า very late activation antigen (VLA) family ซึ่งพบได้ในเม็ดเลือดขาวหลายชนิดไมเลกุลประกอบด้วยกลุ่มของ light (beta) chain กับ

heavy (alpha) chain Light chain สายหนึ่งคือ CD29 เป็น glycoprotein ขนาด 130 KD เชื่อมกันอย่างน้อย 6 heavy chains ด้วย noncovalently bond heavy chain 3 สาย ถูกตั้งชื่อว่า CD49b (VLAa2), CD49d (VLAa4) และ CD49f (VLAab) CD29 และ CD49 มีคุณสมบัติที่เกาะติดกับพวาก matrix proteins เช่น collagen, laminin และ fibronectin

CD51 และ CD61 ถูกกำหนดให้เป็นหน่วยย่อย a และ b ของ vitronectinreceptor

#### เอกสารอ้างอิง

Clark EA, Lanier LL : Report from Vienna : In Search of All surface Molecules Expressed on Human Leukocytes. Summary of the Fourth International Conference on Leukocyte Differentiation Antigen Held in Vienna, Austria, February 21-25, 1989. J Clin Imm 1989; 9:265-72.

# วารสารเทคโนโลยีการแพทย์เชียงใหม่

Table I. Established and Provisional CD Groups

CD antigen	Ligand (substrate)	MW (kDa) reduced	Distribution characteristics	Prototype mAb
<b>T cell-associated</b>				
CD1a	—	49	Thymocytes, dendritic cells	Leu6, T6
CD1b	—	45	Thymocytes, dendritic cells	
CD1c	—	43	Thymocytes, early B cells	
CD2	LFA-3	50	T and NK cells	M241
CD2R			Activation epitope	Leu5, T1.9.6
CD3	Ag receptor complex		T cells	9.1, T11-3
CD3*		22	Epsilon chain	OKT3
CD4	Class II	55	T-cell subset, monocytes, HIV receptor	Leu4
CD5	—	67	T cells, B-cell subset	Leu3a, OKT4
CD6	—	120	T cells, B-cell subset	Leu1, T1
CD7	—	40	Most T cells, NK cells, P <sup>b</sup>	12.1, T12
CD8	Class I	32/33	T and NK subsets	3A1, Leu9
CD27	—	55	T cells, plasma cells	Leu2, T8
CD28	—	44	T cells, plasma cells	CLB-27/1, OKT18
CD29	—	135	VLA beta chain, T subset, P, leukocytes	9.3
CDw60	—	GD3	T-cell subset, P	K20, 4B4
				M-T21
<b>B cell-associated</b>				
CD10	Peptides	100	CALLA, neutral endopeptidase, pre-B cells, PMN, kidney	J5
CD19	—	95	B cells, FDC <sup>b</sup>	B4, Leu12, HD37
CD20	—	33/35	B-lineage cells	B1, IF5, Leu16
CD21	C3d	140	C3d receptor (CR2), B cells, FDC	B2, OKB-1
CD22	—	135	B-lineage cells	Leu14, HD6
CD23	IgE	45	Low-affinity Fc epsilon receptor, B cells, monocytes	MHM6, Leu20
CD24 <sup>a</sup>	—	45/55/65	B-lineage cells, PMN	BA-1
CD37	—	40–45	B cells	HD28, G28-1
CD39	—	80	B cells, M, FDC	AC-2, G28-10
CD40	—	48	B cells, carcinomas, FDC	G28-5, EA-5
CD72	—	39/41	B-lineage cells	S-HCL-2, BU-40
CD73 <sup>a</sup>	AMP, etc.	69	Ecto-5'-nucleotidase, B cells, T-cell subset	1E9.28, AD2
CD74	—	33/35/41	Invariant chain of Class II B cells, monocytes, M	
CDw75	—	53?	Mature B cells, T-cell subset	BU-43, LN2
CD76	—	67/85	Mature B cells, T-cell subset	HH-2
CD77	—	Gb3	Activated B cells	HD66
CDw78	—	67?	B cells, monocytes	BLA
				Leu21, FN1
<b>Myeloid cell-associated</b>				
CD11a	I-CAM-1	180 (95)	LFA-1 alpha chain, pan-leukocyte	LFA-1
CD11b	iC3b	160 (95)	CR3 receptor, myeloid, NK, and T cells	Mo-1, OKM1
	Fibrinogen			
CD11c	iC3b	150 (95)	myeloid cells, activated T cells, NK cells, CR4	60.1, LeuMS
CDw12	—		Myeloid cells, P	
CD13	Peptides	150	Aminopeptidase N, myeloid cells	MY-7
CD14 <sup>a</sup>	—		Monocytes	Mo-2, LeuM3
CD15	—	CHO <sup>b</sup>	X hapten, granulocytes	1G10, LeuM1
CD32	IgG	40	FcRII, myeloid cells, B cells, P	2E1
CD33	—	67	Myeloid leukemia bone marrow	L4F3, MY-9
CD34	—	115	Hematopoietic stem cells	My10
CD35	C3b	220	CR1 3Cb receptor, myeloid cells, FDC	E11, To5
CD64	Fc	75	Fc receptor I, monocytes, M	
CDw65	—	—	Fucoganglioside, granulocytes, and monocytes	VIM8
CD66	—	180–200	Granulocytes, elevated after activation	
CD67 <sup>a</sup>	—	100	Granulocytes	
CD68	—	110	Macrophage specific	Ki-M7, Y2/131

Table I. Continued.

CD antigen	Ligand (substrate)	MW (kDa) reduced	Distribution characteristics	Prototype mAb
<b>Activation-associated</b>				
CD25	IL-2	55	IL-2 low-affinity receptor	Tac
CD26	Peptides	130	Dipeptidyl-peptidase IV, activated T cells	Ta1, 5.9
CD30	—	120	Activated T and B cells	Ki-1
CD38	—	45	Restricted expression in many leukocyte lineages	OKT10, Leu17
CD69	—	28/34	Activation inducer molecule (AIM), activated lymphocytes	Ea-1, Leu23
CD70	—	?	Activated T and B cells, Reed-Sternberg cells	Ki-24
CD71	Transferrin	90	Transferrin receptor	T9
<b>Nonlineage/NK cell-associated</b>				
CD16 <sup>a</sup>	Fc	50–60	Low-affinity Fc receptor FcRIII, NK cells, granulocytes, T subset	3G8, Leu11
CD17	—	—	Lactosylceramide on glycosphingolipids, PMN, P, etc.	TSA7
CD18	—	95	Integrin B2 chain for CD11a, b, c, leukocytes	60.3
CD43	—	95	T cells, PMN, brain, etc.	Leu22
CD44	—	65–85	Lymphocytes, PMN, brain, same as Pgp-1	F10-44-2, Hermes
CD45	Enzyme	180–220	Leukocytes, PTPase	T29/33, 9.4
CD45RA	—	220	NK and B cells, T subset	Leu18, 2H4
CD45B	—	190, 205, 220	Leukocytes	PD7
CD45RO	—	180	T subset, activated T cells	UCHL-1
CD46	—	56/66	MCP, L <sup>b</sup> , E <sup>b</sup> , F <sup>b</sup> , P	
CD47	—	47–52	Most cells	
CD48 <sup>a</sup>	—	41	L	
CD49b	Collagen	167	L, P, VLA alpha2 chain	
CD49d	Laminin, FN	25/135	L, P, VLA alpha4 chain	
CD49f	Laminin	30/120	L, P, VLA alpha6 chain	
CDw50	—	108/140	Most leukocytes	
CDw52	—	25–30	Campath-1, L, E, S	
CD53	—	32–40	MEM-53, L	
CD54	CD11a	75–85	I-CAM-1, monocytes, E, F increases after activation	RR1/1, LB-2
CD55	—	73	Decay accelerating factor (DAF) broadly distributed	
CD56	CD56	135/220	N-CAM, NK cells, T subset	NKH-1, Leu19
CD57	—	CHO <sup>b</sup>	T cell and NK subsets	HNK-1, Leu7
CD58	CD2	45–60	LFA-3, L, broadly expressed	TS2/9
CD59	—	18–20	L, P, broadly distributed, Ly-6 equivalent	MEM-43
<b>Platelet-associated</b>				
CD9	—	24	Pre-B, monocytes, P	BA-2
CD31	—	157	P, PMN, monocytes, gpIIa	SG134
CD36	TS	88	Thrombospondin/collagen receptor, P, monocytes	5F1
CD41a	Fibrinogen	114/122/131	P, gpIIb/gpIIa intact platelet complex	
CD41b	—	—	P, gpIIb only	
CD42a	VW factor	22/25/145	P, gpIX vonWillebrand's factor receptor	
CD42b	—	—	P, gpIb	
CD51	VN	24/120	P, L, vitronectin receptor alpha chain	
CD61	VN	114	P, gpIIa/vitronectin receptor beta-3 chain	
CD62	—	150	P, GMP-140, PADGEM	
CD63	—	53	P, GP-53	

# อภินันทนาการ

จาก

## บริษัท บุ๊คไปร์ไมชั่น แอนด์ เซอร์วิส จำกัด

2220/31 ซอย รามคำแหง 36/1 หัวหมาก บางกะปี กทม. 10240  
โทร. (662) 375-2669, 375-2685 FAX: (662) 375-2669

- บริการสั่งซื้อนั้งสือ, วารสาร, วิชาการทุกแขนง ทั้งในประเทศไทย และต่างประเทศ
- จำหน่าย และ บริการ ข้อมูลจากฐานข้อมูล CD-ROM
- บริการ จัดทำ Catalog Card ด้วยเครื่อง Computer
- NETWORK
- LIBRARY AUTOMATION SYSTEM
- วารสาร BACK ISSUE เป็นเล่ม, MICROFORM



## บริษัท แอล แอนด์ อาร์ เอ็นเตอร์ไพรส์ จำกัด

52/6 ซอยเสนานิคม 1 ถ.พหลโยธิน ลาดพร้าว กรุงเทพฯ 10230  
โทร. 579-4880, 579-6749, 579-4611

Fax. 561-1432

DIGI-SPEC. DIGITAL SPECTROPHOTOMETER  
COMPUTERIZED DIGISPEC-X. DIGITAL FLOW CELL  
SPECTROPHOTOMETER  
GEMSTAR™ GEM-PROFILER™  
ELECTROPHORESIS DATA CENTER

ผู้แทนจำหน่ายวัสดุและอุปกรณ์วิทยาศาสตร์ทุกชนิด

## ย่อเอกสาร

### การใช้ระดับ Thyroglobulin ในชีรัม บอกภาวะการกระตุนต่อมซีรอยด์ ในผู้ป่วย คอพอกเป็นพิษ

Aizawa T, Ishihara M, Koizumi Y, et al. Serum thyroglobulin concentration as an indicator for assessing thyroid stimulation in patients with Graves' disease during antithyroid drug therapy. Am. J. Med. 1990; 89:175-180.

ถูกปล่อยออกจากต่อมซีรอยด์ได้มื่อได้รับการกระตุนด้วย TRab และ thyrotropin ในผู้ป่วยคอพอกเป็นพิษที่ได้รับ methimazole อยู่และสัมพันธ์กับความรุนแรงของการที่ต่อมซีรอยด์ถูกกระตุนด้วย จึงทำให้ในชีรัมใช้รังสีระดับการทำงานของต่อมซีรอยด์ได้ทั้งก่อน ระหว่าง และหลังการรักษาด้วย methimazole ได้ตั้ง โดยเฉพาะอย่างยิ่งในผู้ป่วยที่ไม่พบ thyroglobulin antibody

กนกวรรณ อุมาษกิจ

### การใช้วิธีทางเวชศาสตร์นิวเคลียร์ ตรวจต่อมน้ำลายแทนวิธีเอกซ์เรย์

Pilbrow WJ, Brownless SM, Cawood JL, et al. Salivary Gland Scintigraphy : a suitable substitute for sialography? Brit J Radiol. 1990; 63:190-1.

การตรวจต่อมน้ำลายโดยวิธีเอกซ์เรย์ และฉีดสารทึบแสง (Sialography) เป็นวิธีที่มีอันตราย เสี่ยงป่วย และเสี่ยงลามนา ผู้ทำก็ต้องมีความชำนาญสูง ส่วนการตรวจด้วยวิธีสร้างภาพทางเวชศาสตร์นิวเคลียร์ (Scintigraphy) ร่วมกับการวิเคราะห์ภาพด้วยคอมพิวเตอร์ เพื่อคุณภาพนิยมรังสีในต่อมน้ำลาย สัมพันธ์กับเวลาจะทำให้ตรวจต่อมทั้ง 4 ได้พร้อมกัน ไม่มีอันตรายมาก และผู้ทำก็ไม่ต้องมีความชำนาญสูง ผู้รายงานได้ทำการศึกษาเบรินบเทียนบริสท์ทั้งสองนี้ในผู้ป่วย 36 คน ที่มีอาการต่อมน้ำลายบวมป่วย หรือ อาการปากแห้ง ไม่มีน้ำลาย พนว่าการตรวจด้วยเอกซ์เรย์จะเห็นท่อทางเดินน้ำ

เมื่อต่อมซีรอยด์ถูกกระตุนอาจหลัง thyroglobulin (Tg) ออกมากในพลาสม่าได้ในผู้ป่วยโรคคอพอกเป็นพิษชนิด Graves' disease แม้ได้รับยา methimazole ต่อมซีรอยด์ก็ยังอาจถูกกระตุนได้อยู่ซึ่งจะตรวจพบได้โดยการทำ T3-suppression test และได้ผล non-suppressible ถ้าผู้ป่วยหายจากโรค T3-suppression test จะได้ผล แต่ T3-suppression test ระดับ Tg นี้จะทำบ่อยไม่ได้ เพราะร่างกายจะได้รับรังสีมากเกินไป ระดับของ Tg ในชีรัม อาจจะเป็นค่าที่บ่งชี้การกระตุนของต่อมซีรอยด์ได้ ผู้รายงานจึงได้ทำการตรวจวัด Tg ในชีรัมของผู้ป่วย Graves' disease ที่ได้รับยา methimazole และทำ T3-suppression test ได้ผล suppressible และ non-suppressible ผลการทดลองพบว่า ระดับ Tg ในกลุ่ม non-suppressible สูงกว่าในกลุ่ม suppressible และลดลงหลังการให้ methimazole นอกจากนี้ยังพบว่า ระดับ Tg นี้มีความสัมพันธ์กับระดับ thyrotropin receptor antibody (TRab), thyrotropin และสัมพันธ์กับค่า thyroid uptake ด้วย ผลต่างๆ เหล่านี้ทำให้ สรุปได้ว่า Tg จะ

## วารสารเทคนิคการแพทย์เชียงใหม่

ลายได้ชัดเจนกว่า แต่วิธีทางวิชาศาสตร์นิวเคลียร์ใช้วิเคราะห์หาอัตราการสร้าง และ ขับน้ำลายได้ดีกว่าในผู้ป่วยส่วนใหญ่ ผลการตรวจของทั้งสองวิธีสอดคล้องกันดี แต่ในรายที่มีการอุดตันของห้องน้ำลาย วิธีวิชาศาสตร์นิวเคลียร์ให้ผลดีกว่า และใช้ติดตามผลการรักษาได้ดีกว่าด้วยจากน้ำอุ่นในแบบเดียวกัน การทำที่ง่ายกว่า จึงเห็นว่าสมควรใช้วิธีวิชาศาสตร์นิวเคลียร์ในการตรวจต่อมน้ำลายแทนการเอกซเรย์ในผู้ป่วยที่สงสัย Sialadenitis และ การอุดตันของห้องน้ำลาย (Sjogren's syndrome)

กนกวรรณ อุมาษกิจ

### การสร้างภาพบริเวณติดเชื้อ ในกระดูกและข้อด้วย

#### 111In-labeled-immunoglobulin G

Over WJG, Claessens RAMJ, Horn JR, van der Meer JWM & Corstens FHM, Scintigraphic detection of bone and joint infections with Indium-111-labeled nonspecific polyclonal human immunoglobulin G. J. Nucl. Med 1990; 31:402-3.

การติดเชื้อบริเวณกระดูกและข้อ รวมถึงเนื้อเยื่ออ่อน ทำให้การรักษาต่อไปลำบากขึ้น จึงต้องหาทางวินิจฉัยให้ได้โดยเร็ว การสร้างภาพทาง เวชศาสตร์นิวเคลียร์จะทำได้ แต่ต้องมีสารที่มีความจำเพาะเจาะจงสูง และสามารถแสดงข้อมูลของบริเวณติดเชื้อได้ถูกต้อง IgG เป็นสาร

ซึ่วคอมิตัวหนึ่ง ซึ่งเข้าไปสะสมได้ในบริเวณติดเชื้อ ใน soft tissue หรือภายในช่องห้อง และ vascular infection ผู้รายงานได้นำมาใช้กับผู้ป่วย เพื่อวินิจฉัยการติดเชื้อของกระดูก และข้อ โดยนำ IgG มาติดสلاกกับ In-111 วิธีการติดสลากระดูก จะนำ DTPA มาจับกับ IgG เสียก่อน แล้วจึงให้ทำปฏิกิริยากับ 111In-Chloride In-111 จะเข้าไป เกาะที่ DTPA เมื่อนำไปฉีดในผู้ป่วยแล้วสร้างภาพที่เวลา 24 ชั่วโมง หลังฉีด ได้ภาพที่แสดงบริเวณติดเชื้อได้ถูกต้อง โดยเฉพาะอย่างยิ่งในการผ่านของ Osteomyelitis เรื้อรัง ที่กินบริเวณน้อย ซึ่งสร้างภาพด้วยวิธีอื่นไม่พบ เมื่อเปรียบเทียบวิธีนี้ 111In-IgG กับวิธีอื่นในการติดเชื้อในกระดูก ให้ถูกต้อง แม้มีข้อดีข้อเสียต่าง ๆ กันไป เช่น 99mTc-MDP และ 67Ga อาจให้ผลลัพธ์ปลอมเบรา์มันไปสะสมในบริเวณที่มีการสร้างกระดูกใหม่ได้ด้วย ส่วน 111In-WBC ไม่ค่อยสะสมในการติดเชื้อเรื้อรังและน้อย เมื่อเลือดขาวที่ติดสลากระดูก 99mTc-HMPAO มีวิธีการที่ยุ่งยาก การติดสลากระดูก 111In-WBC มีข้อจำกัดที่ oxine มีพิษต่อเซลล์ 111In-WBC ถูกกำจัดออกจากการแสลงเลือดได้เร็วกว่า 111In-IgG ทำให้ background ต่ำ แต่ 111In-IgG จะเข้าไปสะสมในบริเวณติดเชื้อในสัดส่วนที่สูงกว่า 111In-WBC นอกจากนี้ 111In-IgG ก็สะสมในบริเวณอักเสบโดยไม่ติดเชื้อ อย่างไรก็ตาม 111In-IgG แสดงผลที่ดีกว่าในการผ่านของ Low grade, Chronic osteomyelitis

กนกวรรณ อุมาษกิจ

# **บริษัทสุพรีมโปรดักส์ จำกัด**

163/81-82 ถ.พระปิ่นเกล้า กรุงเทพฯ 10700

โทร. 434-0036, 434-0045, 434-0053

Fax. 433-3971

**MONARCH**

**SPOTCHEM™**

ผู้แทนจำหน่ายวัสดุและอุปกรณ์วิทยาศาสตร์ทุกชนิด

# บริษัท เอ.เอส.ไชน์ จำกัด

970/511 ถ.เจริญสันิทางศ์ บางพลัด กรุงเทพฯ 10700

โทร. 435-8641, 433-4178

Fax. 435-8641

BIO-RAD CLINICAL PRODUCTS  
NOVAPATH™ HIV  
IMMUNOBLOT ASSAY

ผู้แทนจำหน่ายวัสดุและอุปกรณ์วิทยาศาสตร์ทุกชนิด

ใบบอกรับเป็นสมาชิก  
วารสารเทคนิคการแพทย์ เชียงใหม่

ที่.....  
วันที่.....

ถึง บรรณาธิการวารสารเทคนิคการแพทย์ เชียงใหม่

ข้าพเจ้า ยินดีบอกรับเป็นสมาชิกวารสารเทคนิคการแพทย์ เชียงใหม่ โปรดจัดส่งวารสาร  
ถึงข้าพเจ้า ดังนี้

นาม..... สำนักงาน.....

ถนน..... บ้านเลขที่.....

ตำบล..... อำเภอ..... จังหวัด.....

ข้าพเจ้า ได้ส่งเงินจำนวน..... บาท สำหรับเป็นค่าบำรุงสมาชิก

[ ] รายปี [ ] ตลอดชีพ สัมภัยในนามหรัญญึกวารสารเทคนิคการแพทย์ เชียงใหม่ ปณ.  
มหาวิทยาลัยเชียงใหม่ มาพร้อมกับแบบฟอร์มนี้แล้ว

ลงชื่อ.....

หมายเหตุ ค่าบำรุงสมาชิกรายปี 120 บาท  
ค่าบำรุงสมาชิกตลอดชีพ 1,000 บาท

